

UNIVERSITE DES SCIENCES ET DE LA TECHNOLOGIE

HOUARI BOUMEDIENNE

ECOLE NATIONALE POLYTECHNIQUE

DEPARTEMENT DE GENIE - MECANIQUE



**DIMENSIONNEMENT D'UNE
INSTALLATION DE POMPAGE**

Proposé par :

Mr ZERROUG

Ingénieur à la SONAGTHER

Dirigé par :

Mr BOUAZIZ

Maître assistant à l'ENPA

Etudié par :

M. HADJ - MILOUD

الجمهورية الجزائرية الديمقراطية الشعبية
REPUBLIQUE ALGERIENNE DEMOCRATIQUE ET POPULAIRE

وزارة التعليم والبحث العلمي
Ministère de l'Enseignement et de la Recherche Scientifique
«O»

UNIVERSITE DES SCIENCES ET DE LA TECHNOLOGIE

HOUARI BOUMEDIENNE

ECOLE NATIONALE POLYTECHNIQUE

DEPARTEMENT DE GENIE - MECANIQUE

PROJET DE FIN D'ETUDES

**DIMENSSIONNEMENT D'UNE
INSTALLATION DE POMPAGE**

Proposé par :

Mr ZERROUG

Ingénieur à la SONAGTHER

Etudié par :

M. HADJ - MILOUD

Dirigé par :

Mr BOUAZIZ

Maître assistant à l'ENPA

Promotion Janvier 1983

DÉDICACES

Ce modeste travail est dédié :

- A mes chers parents qui se sont tant sacrifiés pour moi
- A mes frères et sœurs qui me sont très chers.
- A tous mes amis.

M. HADJ. MILOUD.

REMERCIEMENTS

Je tiens à remercier :

- M^E BOUAZIZ Maître - Assistant à l'E.N.P.A et
M^E ZERROUG Ingénieur de la SONAGTHER pour
l'aide précieuse et les conseils qu'ils m'ont prodigués
tout au long de mon travail.
- les enseignants qui ont contribué à ma formation
depuis mon jeune âge.
- toutes les personnes qui ont contribué à
l'élaboration de ce travail.

M. HADJ. MILOUD.

PRESENTATION DU SUJET.

Ce sujet a été proposé par la SONAGTHER-DEM.

But:

Dimensionnement d'une installation d'eau potable qui sert à alimenter la ville de BECHAR à partir du barrage de DJORF-TORBA (après un traitement).

Données:

- Profil en long de la conduite : c'est le tracé de la conduite principale avec toutes les spécifications propres à la conduite.

- Débit : $Q = 410 \frac{\ell}{s} = 1476 \frac{m^3}{h}$

SOMMAIRE

| | |
|--|----|
| Introduction | 1 |
| Généralités | 2 |
| Choix des pompes | 4 |
| I. Etude de l'installation | 5 |
| I.1. Pertes de charge | 5 |
| I.2. Hauteur manométrique totale | 14 |
| I.3. Caractéristique de l'installation | 15 |
| I.4. Calcul des épaisseurs des tuyaux | 16 |
| II. Vérification du choix des pompes | 19 |
| II.1. Vitesse spécifique | 19 |
| II.2. Vérification à la non-cavitation | 20 |
| III. Etude de la pompe | 23 |
| III.1. Calcul de la roue | 23 |
| III.2. Calcul de la volute | 30 |
| III.3. Calcul des pertes et des rendements | 31 |
| III.4. Etude mécanique | 50 |
| IV. Fonctionnement de l'installation | 58 |
| IV.1. Détermination du point de fonctionnement | 58 |
| IV.2. Rognage des roues | 60 |
| IV.3. Fonctionnement de l'installation avec les pompes modifiées | 63 |
| Conclusion | 65 |

INTRODUCTION

L'eau est la source de la vie. Son existence et sa disponibilité en quantité suffisante favorise l'écllosion et le développement de toute forme de civilisation. Ainsi l'homme s'est intéressé, depuis l'antiquité, à la mise au point de systèmes pour le captage et le transport de cette ressource si indispensable. Parmi les techniques les plus répandues c'est la méthode de transport par gravitation c'est à dire on fait parvenir l'eau d'un réservoir situé à un niveau plus élevé que celui du lieu d'utilisation. Depuis les techniques ont beaucoup évolué. Actuellement les différentes opérations de prélèvement, de traitement et de distribution de l'eau sont l'objet d'une étude technique rigoureuse afin de surmonter les contraintes de réalisation et de satisfaire les exigences de l'utilisateur. Cette étude nous ramène à la conception et la réalisation des installations de pompage.

GENERALITÉS

Une installation de pompage est l'ensemble de la tuyauterie, des machines et des différents accessoires (robinetterie, appareils de contrôle) assurant le prélèvement et l'acheminement d'un fluide d'un point à un autre.

Les paramètres nécessaires pour l'étude d'une installation de pompage sont :

- la nature du fluide (densité, viscosité et température).
- le débit.
- le but d'utilisation (domestique, industrielle ou agricole).
- la forme d'énergie disponible.

Pour l'eau potable, l'installation comprend :

- une tuyauterie d'aspiration dont le tracé doit être fait minutieusement afin de minimiser les pertes de charge.
- les pompes : ce sont des machines qui communiquent au fluide une certaine énergie pour vaincre les résistances des différentes pièces et aussi pour le relever à une hauteur donnée.
- une tuyauterie de refoulement pour collecter

l'eau à la sortie des pompes.

L'étude d'une installation de pompage d'eau potable comporte en général quatre parties:

- hydraulique : dont le but est de déterminer la hauteur manométrique totale afin de choisir les pompes et les différents accessoires nécessaires au bon fonctionnement.

- mécanique : on fait le calcul et le choix des différents éléments de la pompe (roue, diffuseur, arbre, paliers, etc...).

- électrique : comporte les schémas des armoires de commande de l'installation.

- étude économique : cette étude consiste à déterminer le coût de l'installation et permet de faire le choix des solutions les plus fiables sur le plan technique et sur le plan économique.

Notre étude sera axée essentiellement sur les deux premières parties. Et nous laissons le soin des deux autres parties aux spécialistes concernés.

CHOIX DES POMPES

Vu l'importance du débit de cette installation, à priori, on doit choisir des pompes à deux ouïes. Une pompe à deux ouïes est équivalente à deux pompes à une seule entrée placées en parallèle. Ce type de pompe a plusieurs avantages :

- Elles peuvent refouler de gros débits sous de grandes hauteurs.
- Une pompe à deux ouïes est moins volumineuse qu'une pompe à une seule entrée refoulant le même débit. Les dimensions de la roue sont $\sqrt{2}$ fois plus petites que celles de la roue d'une pompe à une seule entrée.
- Elles sont très bien équilibrées du fait que le liquide entre dans la pompe de deux côtés symétriques.
- Pour des pompes de même n_s , la pompe à deux ouïes tourne avec une vitesse de rotation de $N\sqrt{2}$ (N étant la vitesse de rotation d'une pompe à une entrée). Donc le moteur électrique d'entraînement sera moins cher.

Pour cette installation on a deux pompes à deux ouïes en parallèle refoulant chacune un débit de $205 \text{ l/s} = 738 \text{ m}^3/\text{h}$.

CHI ETUDE DE L'INSTALLATION

I.1. Pertes de charge:

I.1.0. Considérations générales:

Généralement les conduites des grandes installations de pompage sont construites en tôle d'acier roulée soudée l'état noeuif les conduites sont pratiquement lisses. Mais après une longue durée de "travail", la conduite s'use et devient rugueuse. Alors pour faire des calculs valables on doit se placer dans le cas le plus défavorable c'est à dire dans le cas où la conduite est rugueuse. Pour les conduites de grandes dimensions, la hauteur des aspirités k est estimée à $4 \cdot 10^{-6}$ m.

I.1.1. Pertes de charge dans l'aspiration.

- Diamètres des conduites dans l'aspiration:

$$dia = \sqrt{\frac{4Q}{\pi V}}$$

Q : débit

V : vitesse d'écoulement comprise entre 1 m/s et 2 m/s

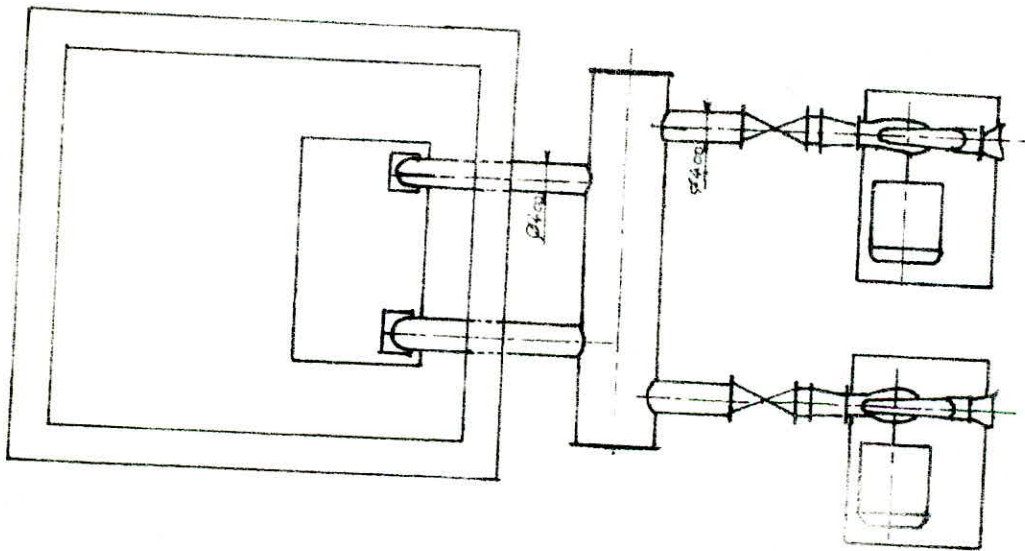
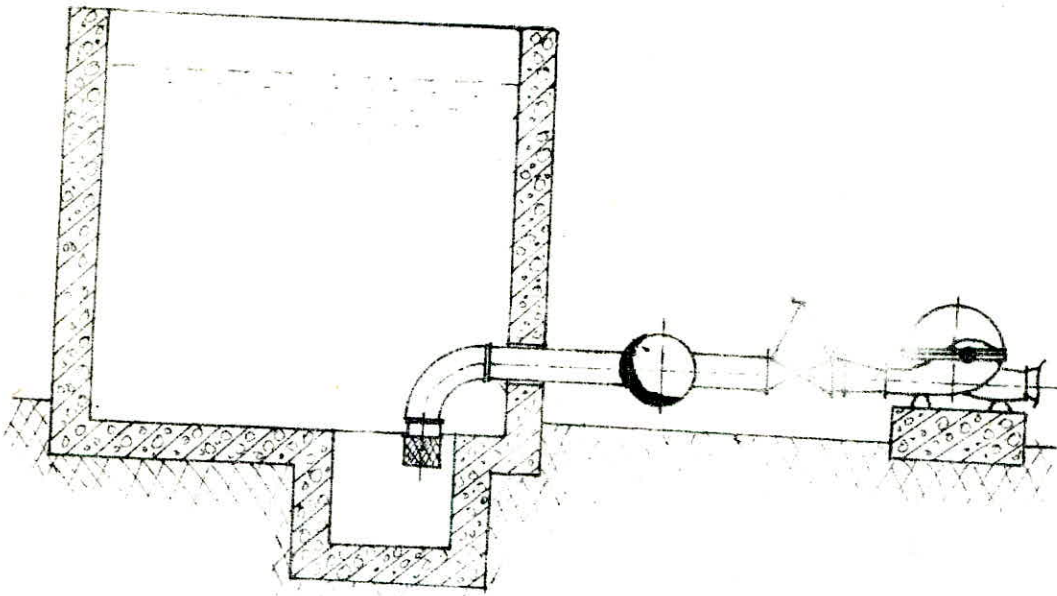
$$Q = 0,205 \text{ m}^3/\text{s}.$$

on prend $V = 1,7 \text{ m/s}$.

$$dia = \sqrt{\frac{4 \times 0,205}{\pi \times 1,7}} = 0,392 \text{ m}.$$

on adopte un diamètre normalisé $dia = 400 \text{ mm}$.

D'où une vitesse d'écoulement $V = 1,631 \text{ m/s}$.



schema de l'aspiration

Les accessoires de l'aspiration sont:

- 2 coudes à 90°.
- 2 Yannes.
- 4 Tés (ou piquages).
- 2 joints de démontages.
- 2 crépines.
- 2 convergents.

- Pertes de charge linéaires :

La perte de charge linéaire est donnée par la formule :

$$\Delta h_{l_a} = \lambda \frac{l}{dia} \frac{V_a^2}{2 \cdot g}$$

où

λ : coefficient de résistance de la conduite .

l : longueur de la conduite .

dia : diamètre intérieur de la conduite .

V_a : vitesse d'écoulement à l'aspiration .

- calcul du coefficient λ :

- Nombre de Reynolds :

$$Re = \frac{V_a \cdot dia}{\nu} \quad \text{où } \nu \text{ est la viscosité cinématique de l'eau}$$

$$\text{A } t = 20^\circ\text{C} \quad \nu = 1,008 \cdot 10^{-6} \frac{\text{m}^2}{\text{s}}$$

$$V_a = 1,631 \frac{\text{m}}{\text{s}} \quad dia = 0,4 \text{ m.}$$

$$Re = \frac{1,631 \cdot 0,4}{1,008 \cdot 10^{-6}} = 6,50 \cdot 10^5 \quad (\text{écoulement turbulent}).$$

- Hauteur moyenne des aspérités :

$$k_m = 19,25 \cdot R_o^{-7/4} = 19,25 \cdot (6,5)^{-7/4} \cdot 10^{35/8} = 1,6 \cdot 10^{-6} \text{ m} < 4 \cdot 10^{-6} \text{ m} = k$$

Donc la conduite est pratiquement rugueuse. Dans ce cas λ se calcule d'après la formule de COLBROOK :

$$\frac{1}{\sqrt{\lambda}} = -2 \text{Log} \left(\frac{k}{3,7 dia} + \frac{2,51}{Re \sqrt{\lambda}} \right)$$

$$\text{d'où } \lambda = \left[\frac{1}{-2 \text{Log} \left(\frac{k}{3,7 dia} + \frac{2,51}{Re \sqrt{\lambda}} \right)} \right]^2$$

Pour calculer λ on procède par itérations successives. On pose :

$$f(\lambda) = \lambda - \varphi(\lambda) = \lambda - \left[\frac{1}{2 \text{Log} \left(\frac{k}{3,7 dia} + \frac{2,51}{Re \sqrt{\lambda}} \right)} \right]^2$$

| λ | $\varphi(\lambda)$ |
|-----------|--------------------|
| 0,018 | 0,0203 |
| 0,02013 | 0,02010 |
| 0,02010 | 0,02010 |

soit $\lambda = 0,0201$

$$\Delta h_{L_a} = \lambda \frac{V_a^2}{2g} \frac{L_a}{dia}$$

La longueur des conduites à l'aspiration L_a est de 6 m

$$\Delta h_{L_a} = 0,0201 \frac{(1,631)^2 \cdot 6}{2 \times 9,81 \cdot 0,4}$$

$$\Delta h_{L_a} = 0,041 \text{ m}$$

- Pertes de charge singulieres:

La perte de charge singuliere pour un accessoire i est donnée par la formule : $\Delta h_{s_i} = \zeta_i \frac{V_a^2}{2g}$ où ζ_i est un coefficient caractérisant l'accessoire.

| Accessoires | Nbre | ζ_i | $\Delta h_{s_i} = \zeta_i \cdot \frac{V_a^2}{2g}$ [m] |
|------------------------------|------|------------------|---|
| Coudes à 90° | 2 | 2,2 | 0,597 |
| Vannes | 2 | 0,3 | 0,081 |
| j ^{ts} de demontage | 2 | 0,5 | 0,136 |
| Tés | 4 | 0,9 | 0,488 |
| Convergenents | 2 | | $2 \times 0,017 = 0,034$ |
| Crépines | 2 | | $2 \times 0,025 = 0,05$ |
| | | Δh_{s_o} | 1,386 |

La perte de charge totale dans l'aspiration est:

$$\Delta h_s = \Delta h_{L_a} + \Delta h_{s_o} = 0,041 + 1,386$$

$$\Delta h_s = 1,427 \text{ m}$$

I. 1.2 Pertes de charge dans le refoulement:

La partie refoulement est constituée de:

- la partie reliée aux pompes
- la conduite principale qui collecte l'eau refoulée et l'amène au réservoir-réseau de la ville de BECHAR.

- Pertes dans la partie reliée aux pompes:

Cette partie est constituée essentiellement des accessoires assurant le bon fonctionnement de l'installation.

- diamètre intérieur de la conduite:

$$dir = \sqrt{\frac{4Q}{\pi V_r}}$$

La vitesse d'écoulement dans le refoulement V_r est comprise entre $2,5 \frac{m}{s}$ et $3 \frac{m}{s}$. On prend $V_r = 3 \frac{m}{s}$

$$Q = 0,205 \frac{m^3}{s}$$

$$dir = \sqrt{\frac{4 \times 0,205}{\pi \times 3}} = 0,295 \text{ m.}$$

on adopte un diamètre normalisé $dir = 300 \text{ mm}$

$$\text{soit } V_r = 2,900 \frac{m}{s}$$

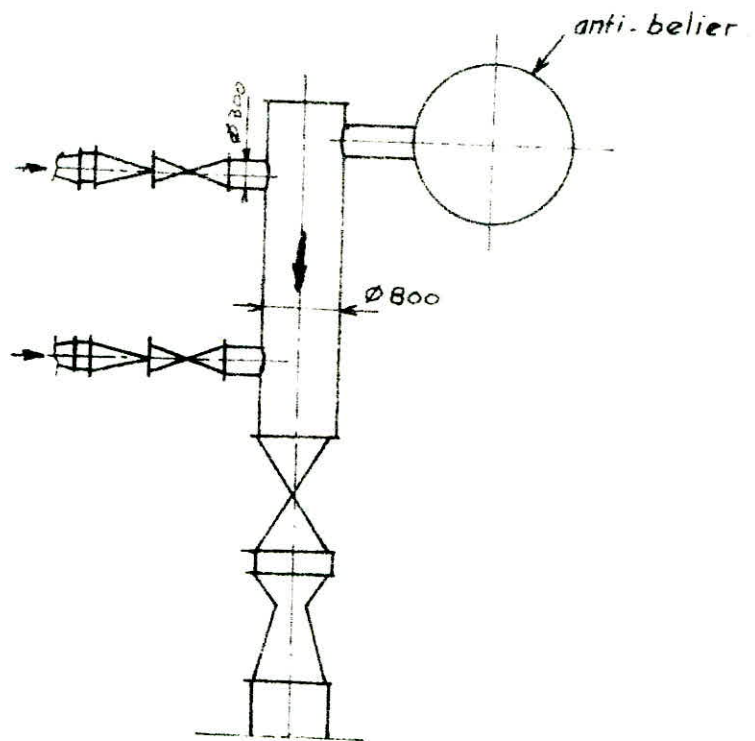
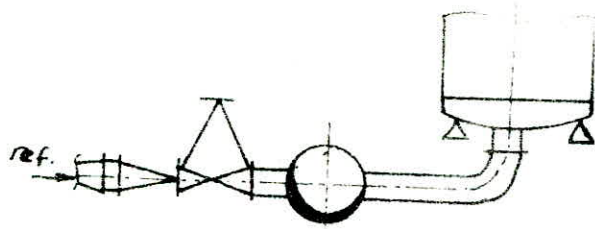
- Nombre de Reynolds :

$$Re = \frac{V_r \cdot dir}{\nu}$$

$$\nu(20^\circ C) = 1,008 \cdot 10^{-6} \frac{m^2}{s}$$

$$Re = \frac{2,9 \cdot 0,3}{1,008 \cdot 10^{-6}} = 8,63 \cdot 10^5$$

Donc on a un écoulement turbulent.



Cette partie comprend:

- 2 Tés.
- 3 clapets de non retour.
- 3 joints de démontage.
- 3 vannes.
- 2 divergents.
- 1 venturi.

Les pertes de charge linéaires sont négligeables.

La vitesse d'écoulement dans le collecteur de diamètre $\phi 800$ est:

$$V = \frac{4Q}{\pi D^2}$$

$$Q = 0,41 \frac{m^3}{s}$$

$$V = \frac{4 \times 0,41}{\pi \cdot (0,8)^2}$$

$$\underline{V = 0,816 \frac{m}{s}}$$

| Accessoires | N ^{bre} | ζ_i | |
|-----------------|------------------|-----------|------------------------------------|
| jt de demontage | 3 | 0,5 | |
| Clapets | 2 | 0,3 | |
| Vannes | 3 | 0,3 | |
| branchements | 2 | 0,9 | |
| venturi | 1 | 2 | |
| divergents | 2 | | $\Delta h_{sr} = 0,035 \times 2 m$ |

$$\Delta h_{sr} = \frac{1}{2 \cdot g} \sum_{i=1}^n \zeta_i \cdot V_i^2$$

$$\Delta h_{sr} = \frac{1}{2 \cdot 9,81} \left[(0,5 \times 2 + 0,3 \times 2 + 0,3 \times 2 + 2 \times 0,9) (2,9)^2 + (0,5 + 0,3 + 2) (0,816)^2 \right] + 2 \times 0,035$$

$$\underline{\Delta h_{sr} = 1,880 m}$$

- Pertes de charge dans la conduite principale:

La conduite principale est constituée de deux tronçons:

- 1^{er} tronçon de diamètre $\phi 800$ et de longueur $L_1 = 13006,8 m$.

- 2^{eme} tronçon de diamètre $\phi 600$ et de longueur $L_2 = 64546 m$.

- 1er tronçon:

- Pertes de charge linéaires:

. Vitesse d'écoulement:

$$V_1 = 0,816 \frac{m}{s} \text{ (déjà calculée)}$$

. Nombre de Reynolds:

$$Re = \frac{V_1 D_1}{\nu} = \frac{0,816 \cdot 0,8}{1,008 \cdot 10^{-6}} = 6,5 \cdot 10^5$$

. Hauteur moyenne des aspérités:

$$k_m = 19,25 D Re^{-2} = 19,25 \cdot 0,8 (6,5 \cdot 10^5)^{-2} = 1,26 \cdot 10^{-6} m < 4 \cdot 10^{-6} m = k.$$

. Calcul du coefficient λ

Comme la conduite est considérée comme rugueuse, λ se calcule d'après la formule de COLEBROOK:

$$\lambda = \left[\frac{1}{-2 \text{Log} \left(\frac{k}{3,7 D} + \frac{2,51}{Re \sqrt{\lambda}} \right)} \right]^2$$

| λ | $\varphi(\lambda)$ |
|-----------|--------------------|
| 0,018 | 0,017447 |
| 0,017447 | 0,017458 |
| 0,017458 | 0,017458 |

soit $\lambda = 0,01746$

La perte de charge linéaire est:

$$\Delta h_L = \lambda \cdot \frac{L_1}{D_1} \cdot \frac{V_1^2}{2 \cdot g}$$

$$L_1 = 13006,8 \text{ m}$$

$$\Delta h_L = 0,01746 \cdot \frac{13006,8}{0,8} \cdot \frac{0,816}{2 \cdot 9,81}$$

$$\underline{\Delta h_L = 9,633 \text{ m}}$$

Pertes de charge singulières:

| Accessoires | Nbr | ξ_i | $\Delta h_{s_i} = \xi_i \cdot \frac{V_1^2}{2g}$ [m] |
|--------------|-----|------------------|---|
| Coudes à 15° | 31 | 0,68 | 0,715 |
| Vanne | 1 | 0,3 | 0,011 |
| | | Δh_{s_1} | 0,726 |

2^{ème} tronçon:

Vitesse d'écoulement:

$$V = \frac{4Q}{\pi \cdot D_2^2} = \frac{4 \times 0,41}{\pi \times (0,6)^2} = 1,450 \frac{m}{s}$$

Nombre de Reynolds:

$$Re = \frac{V_2 \cdot D_2}{\nu} = \frac{1,45 \cdot 0,6}{1,008 \cdot 10^{-6}} = 8,63 \cdot 10^5$$

Hauteur moyenne des aspérités:

$$k_m = 19,25 \cdot D \cdot Re^{-\frac{7}{8}} = 19,25 \cdot 0,6 \cdot (8,63 \cdot 10^5)^{-\frac{7}{8}} = 1,23 \cdot 10^{-4} < 4 \cdot 10^{-4} m = k$$

Donc la conduite est pratiquement rugueuse.

Pertes de charge linéaires.

$$\Delta h_{L_2} = \lambda \cdot \frac{L_2}{D_2} \cdot \frac{V_2^2}{2g}$$

λ est calculée d'après la formule de COLEBROOK, et on trouve $\lambda = 0,01831$

$$L_2 = 6454,8 m.$$

$$\Delta h_{L_2} = 0,1831 \cdot \frac{6454,8}{0,6} \cdot \frac{(1,45)^2}{2 \cdot 9,81}$$

$$\underline{\Delta h_{L_2} = 21,110 m}$$

- Pertes de charge singulières :

comme accessoires on a 11 coudes à 15° et un convergent

$$\Delta h_{s_2} = 11 \cdot \xi_c \cdot \frac{V_2^2}{2 \cdot g} + \Delta h_{conv.}$$

$$\Delta h_{s_2} = 11 \cdot 0,68 \cdot \frac{(1,45)^2}{2 \cdot 9,81} + 0,008$$

$$\underline{\Delta h_{s_2} = 0,810 \text{ m}}$$

La perte de charge totale dans la conduite principale est :

$$\Delta h_{cp} = \Delta h_{r_1} + \Delta h_{s_1} + \Delta h_{r_2} + \Delta h_{s_2}$$

$$= 9,633 + 0,726 + 21,110 + 0,810$$

$$\underline{\Delta h_{cp} = 32,279 \text{ m}}$$

I.2 Hauteur manométrique totale

La hauteur manométrique totale est la somme de la hauteur géométrique et des pertes de charge. On la désigne aussi par le nom : hauteur énergétique totale.

I.2.1. Pertes de charge totales

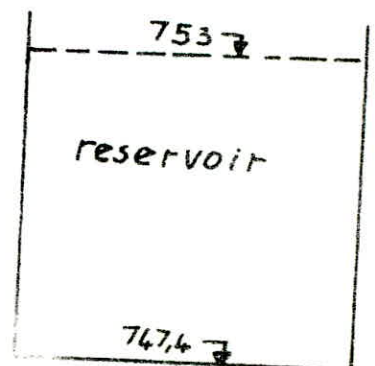
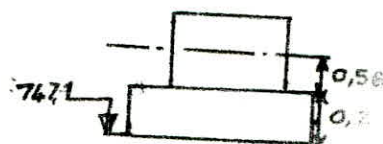
$$\Delta h_T = \Delta h_{cp} + \Delta h_{sr} + \Delta h_a = 32,279 + 1,88 + 1,427$$

$$\underline{\Delta h_T = 35,583 \text{ m}}$$

I.2.2. Hauteurs géométriques

- Hauteur géométrique d'aspiration

→ désigne l'altitude par rapport au niveau de la mer.



$$h_{ga} = 753 - 747,1 - (0,2 + 0,56)$$

$$h_{ga} = 5,14 \text{ m.}$$

I.2.3 Hauteur géométrique de refoulement

c'est la différence entre l'altitude de l'installation et l'altitude du réservoir - réseau. Ces altitudes sont données par le profil en long de la conduite principale.

- altitude de l'installation: 746,25 m

- " du réservoir : 837,81 m

$$h_{gr} = 837,81 - 746,25$$

$$\underline{h_{gr} = 91,56 \text{ m}}$$

I.2.4 Hauteur manométrique totale H

Comme on a une aspiration en charge H s'écrit:

$$H = h_{gr} - h_{ga} + \Delta h_T = 91,56 - 5,14 + 32,279 = 122,100 \text{ m}$$

On prend

$$\boxed{H = 123 \text{ m}}$$

H est majorée pour tenir compte d'autres pertes et pour plus de sécurité.

I.3 Caractéristique de l'installation:

C'est la courbe qui caractérise la variation de la hauteur en fonction du débit. Son équation est de la forme:

$$H = H_s + k Q^2$$

avec H_s : hauteur statique

$$H_s = h_{gr} - h_{ga} = 91,56 - 5,14 = 86,42 \text{ m}$$

$$\text{Pour } Q=0 \quad H = H_s = 86,42 \text{ m}$$

$$Q = Q_n = 1476 \frac{\text{m}^3}{\text{h}} \quad H = 123 \text{ m}$$

$$d'où \ k = \frac{H - H_s}{Q^2} = \frac{123 - 86,42}{(1476)^2} \Rightarrow k = 1,68 \cdot 10^{-5}$$

$$d'où \ H = H_s + 1,68 \cdot 10^{-5} Q^2 = 86,42 + 1,68 \cdot 10^{-5} Q^2$$

Tracé de la caractéristique:

| | | | | | | | | | | | |
|----------|--------|--------|--------|-------|--------|--------|--------|--------|--------|--------|--------|
| Q [m³/h] | 0 | 64 | 128 | 192 | 256 | 320 | 384 | 448 | 512 | 576 | 640 |
| H [m] | 86,42 | 86,50 | 86,70 | 87,04 | 87,52 | 88,14 | 88,90 | 90,19 | 90,82 | 92,00 | 93,3 |
| Q | 704 | 738 | 768 | 832 | 896 | 960 | 1024 | 1088 | 1152 | 1216 | 1280 |
| H | 94,74 | 95,57 | 96,33 | 98,05 | 99,91 | 101,90 | 104,04 | 106,31 | 108,71 | 111,26 | 113,94 |
| Q | 1344 | 1408 | 1472 | 1476 | 1536 | 1600 | 1664 | 1728 | 1792 | 1856 | 1920 |
| H | 116,80 | 119,73 | 122,82 | 123 | 126,06 | 129,82 | 132,94 | 136,58 | 140,37 | 143,90 | 148,35 |

1.3 Calcul des épaisseurs des tuyaux:

Les tuyaux sont considérés comme des tubes minces.

L'épaisseur est donnée par la formule :

$$e = \frac{P \cdot D}{2 \cdot \sigma_a \cdot \varphi} + c$$

e: épaisseur du tuyau.

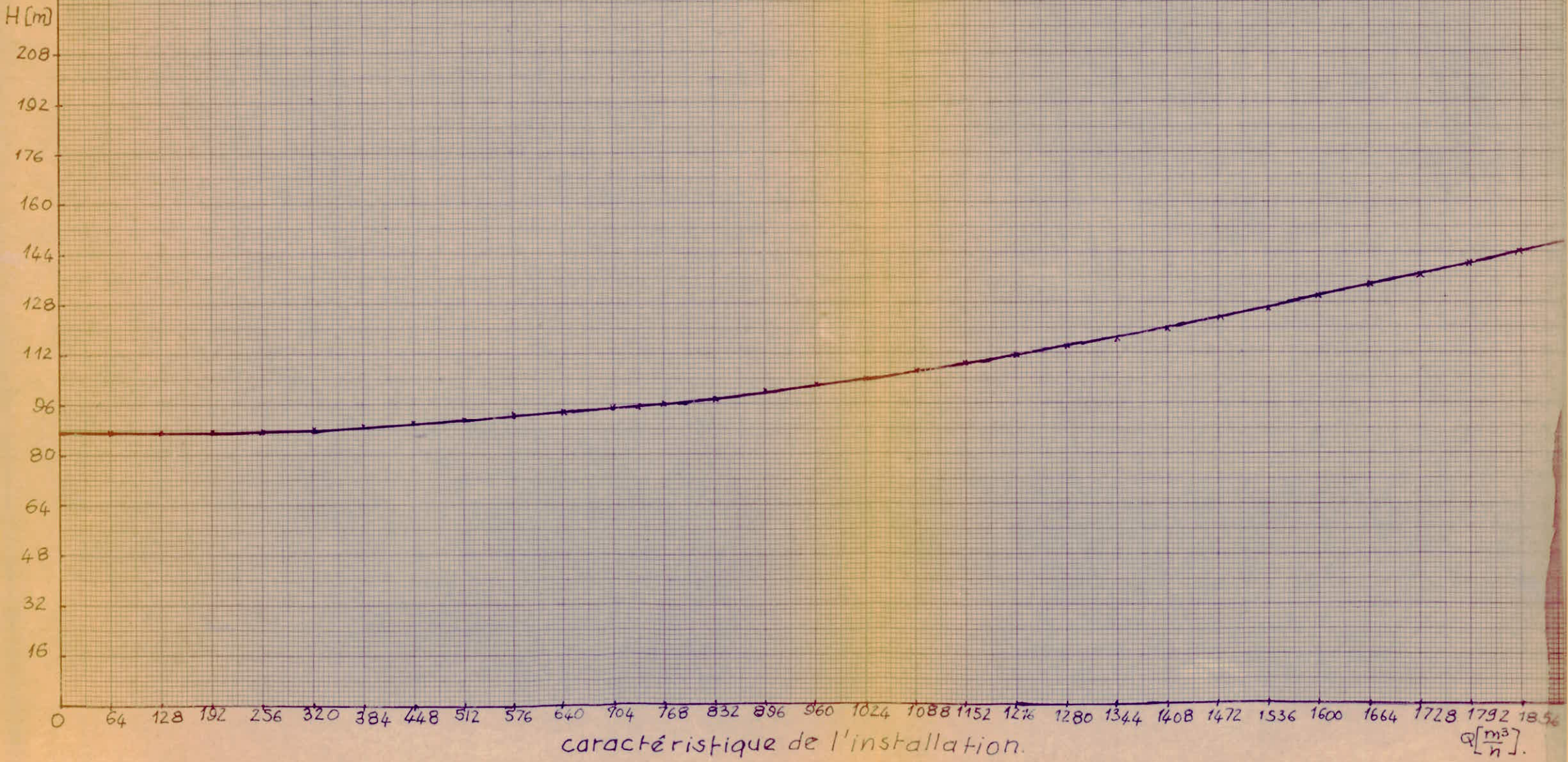
D: diamètre intérieur du tuyau.

P: pression maximum en service.

σ_a : contrainte admissible du matériau.

φ : Coefficient de résistance dépendant du mode d'exécution du tube.

C: constante additif (corrosion; ...).



caractéristique de l'installation.

$Q[\frac{\text{m}^3}{\text{h}}]$.

Pour les tubes en tôle d'acier roulée et soudée on a les valeurs suivantes:

$$C = 2 \text{ mm}$$

$$\varphi = 0,9$$

$$\sigma_a = 7 \text{ daN/mm}^2$$

I.3.1 Epaisseur des tubes d'aspiration:

La pression maximum dans l'aspiration est:

$$p_a = \bar{\omega} h g_a + \rho \cdot \frac{V_a^2}{2}$$

$$p_a = 1000 \cdot \left[9,81 \cdot 5,14 + \frac{(1,631)^2}{2} \right] = 5,2 \cdot 10^{-3} \text{ daN/mm}^2$$

$$e = \frac{5,2 \cdot 10^{-3} \cdot 400}{0,9 \cdot 7} + 2 = 2,16 \text{ mm}$$

$$\text{soit } \underline{e = 3 \text{ mm}}$$

I.3.2 Epaisseur des tubes de refoulement:

La pression maximum dans le refoulement est:

$$p_r = \bar{\omega} \cdot H$$

$$p_r = 1000 \cdot 9,81 \cdot 123 \approx 12,3 \text{ bars on prend } p_r = 13 \text{ bars.}$$

- Pour la partie reliée aux pompes l'épaisseur est:

$$e = \frac{0,13 \cdot 300}{0,9 \cdot 7} + 2 = 5,1 \text{ mm}$$

$$\text{soit } \underline{e = 6 \text{ mm}}$$

- Pour la conduite principale on a:

1^{er} tronçon $\varnothing 800$

$$e = \frac{0,13 \cdot 800}{0,9 \cdot 7} + 2 = 10,25 \text{ mm}$$

$$\text{soit } \underline{e = 11 \text{ mm}}$$

2^{eme} tronçon $\varnothing 600$

$$e = \frac{0,13 \cdot 600}{0,9 \cdot 7} + 2 = 8,2 \text{ mm}$$

$$\text{soit } \underline{e = 9 \text{ mm}}$$

CH. II VERIFICATION DU CHOIX DES POMPES.

II.1 La vitesse spécifique: N_s

Définition:

La vitesse spécifique est la vitesse de rotation en trs/mn d'une roue homothétique à la roue étudiée fonctionnant sous une hauteur de 1m et débitant $1 \text{ m}^3/\text{s}$.

- N_s globale:

$$N_{sg} = \frac{N \cdot Q_r^{1/2}}{H^{3/4}}$$

On choisira des moteurs qui tournent à 2900 trs/mn.

$$Q_T = 0,41 \frac{\text{m}^3}{\text{s}}$$

$$H = 123 \text{ m}$$

$$N_{sg} = \frac{2900 \cdot \sqrt{0,41}}{123^{0,75}} = 50,28 \text{ trs/mn}$$

On constate que $N_{sg} > 40$, donc on doit choisir deux pompes en parallèle dont la vitesse spécifique de chacune est:

$$N_{sp} = \frac{N_{sg}}{\sqrt{2}} = \frac{50,28}{\sqrt{2}} = 35,55 \text{ trs/mn}$$

Cette vitesse spécifique correspond à celle d'une roue centrifuge. Mais vu le débit important que doit fournir la pompe, ses dimensions seront grandes. Pour diminuer l'encombrement et faciliter le montage et l'entretien, on choisit une pompe à deux ouïes. Cette pompe débitera le même débit que deux à une seule ouïe montées en parallèle. L'impulseur de cette pompe est constitué de deux roues juxtaposées.

La vitesse spécifique de chaque roue est:

$$N_s = \frac{N_{sp}}{\sqrt{2}} = \frac{35,55}{\sqrt{2}} = 25,14 \text{ trs/mn.} > 20 \text{ trs/mn.}$$

Donc on a une roue centrifuge.

II.2. Verification à la non cavitation:

II.2.1. Le phénomène de cavitation:

Le phénomène de cavitation se produit lorsque à l'intérieur de la pompe, à cause d'une chute locale de pression, des cavités remplies de vapeur d'eau se forment. Ces cavités s'écrasent dès qu'ils atteignent des régions à pression plus élevée.

Les causes de l'apparition du phénomène de cavitation sont:

- diminution de la pression atmosphérique (haute altitude).
- grande hauteur d'aspiration.
- une température élevée de l'eau.

Etant données les conséquences néfastes de ce phénomène (érosion de la roue, diminution du débit; ...), le choix des pompes pour une installation doit être fait de telle façon que ce phénomène ne se produise pas.

II.2.2. N.P.S.H

Le N.P.S.H détermine les conditions dans lesquelles la pompe fonctionne sans caviter.

- N.P.S.H disponible

C'est la hauteur de charge nette disponible à l'installation à l'entrée de la pompe.

$$N.P.S.H_d = \frac{P_o}{\rho g} - (H_a + \Delta h_a + h_v) \quad [m].$$

$\frac{P_0}{\omega}$ = pression barométrique en m de colonne d'eau.

H_a : hauteur d'aspiration

Δh_a : pertes de charge dans l'aspiration.

h_v : hauteur en m de colonne d'eau représentant la tension de vapeur.

$$\frac{P_0}{\omega} = 10,33 - \frac{\rho_{air} \cdot h}{\rho_{eau}} \quad h \text{ étant l'altitude de l'installation.}$$

$$h = 747,10 \text{ m}, \quad \rho_{air} = 1,29 \text{ kg/m}^3, \quad \rho_{eau}(20^\circ) = 999,3 \text{ kg/m}^3$$

$$\frac{P_0}{\omega} = 10,33 - \frac{1,29}{999,3} = 9,366 \text{ m}$$

$$H_a = -5,14 \text{ m} \quad (\text{car on a une aspiration en charge}).$$

$$\Delta h_a = 1,427 \text{ m.}$$

$$h_v = \frac{P_v}{\omega}$$

$$P_v = 0,02337 \text{ bar} \quad (\text{d'après les tables de Vapeur d'eau}).$$

$$h_v = \frac{0,02337 \cdot 10^5}{998,3 \cdot 9,81} = 0,024 \text{ m.}$$

$$N.P.S.H_d = 10,33 - (-5,14 + 1,427 + 0,024)$$

$$\underline{N.P.S.H_d = 13,055 \text{ m}}$$

- N.P.S.H requis:

c'est la hauteur de charge nette requise pour la pompe pour qu'elle fonctionne sans caviter.

$$N.P.S.H_r = 5 \cdot H$$

H : hauteur manométrique totale

5 : constante de THOMA

Pour 5 STEPANOFF donne la formule empirique:

$$5 = 1,21 \cdot 10^{-3} \cdot n_s^{4/3}$$

$$n_s = 25,14 \text{ trs/mn}$$

$$N.P.S.H_r = 1,21 \cdot 10^{-3} \cdot (25,14)^{\frac{4}{3}} \cdot 123$$

$$\underline{N.P.S.H_r = 10,96 \text{ m}}$$

Pour que la pompe ne cavite pas il faut:

$$N.P.S.H_d > N.P.S.H_r$$

$$13,055 > 10,96$$

donc la pompe ne cavite pas

conclusion:

Le choix de nos pompes est parfaitement justifié.

CH. III. ETUDE DE LA POMPE

III. 1 Calcul de la roue:

III.1.1. Dimensions principales:

Pour déterminer les dimensions principales d'une roue, il faut fixer d'avance les paramètres suivant:

- la hauteur manométrique totale H .
- le débit Q
- la vitesse de rotation N

Dans notre cas on a une pompe à deux roues c'est à dire on a deux roues. Le calcul de la roue se fait avec la moitié du débit refoulé par la pompe. D'où:

$$Q = 0,1025 \frac{m^3}{s}$$

$$H = 123 \text{ m}$$

$$N = 2900 \text{ trs/mn.}$$

$$N_s = 25,14 \text{ trs/mn.}$$

Pour le calcul de la roue on utilise la méthode des constantes de tracé proposée par STEPANOFF; ces constantes sont données en fonction du N_s .

- Vitesse périphérique à la sortie de la roue:

$$U_2 = K_u \sqrt{2gH} \quad \text{avec } K_u = 1$$

$$U_2 = 1 \sqrt{2 \times 9,81 \cdot 123} \quad U_2 = 49,125 \frac{m}{s}$$

- Diamètre extérieure de la roue:

$$U_2 = \frac{\pi \cdot D_2 \cdot N}{60} \Rightarrow D_2 = \frac{60 \cdot U_2}{\pi \cdot N}$$

$$D_2 = \frac{60 \cdot 49,125}{\pi \cdot 2900} = 0,3238 \text{ m} \quad \text{soit } \underline{D_2 = 324 \text{ mm}}$$

- Diamètre intérieure de la roue :

Pour les roues à moyenne N_s le rapport $\frac{D_1}{D_2}$ est compris entre 0,5 et 0,6 (d'après KOVATS)

on adopte $D_1 = 165 \text{ mm}$

$$\text{soit } \frac{D_1}{D_2} = \frac{165}{324} = 0,51$$

- Largeur de l'aube à l'entrée de la roue :

$$b_1 = \frac{Q_t}{\pi \cdot v_{m1} \cdot D_1} \cdot \frac{t_1 + z_1}{t_1}$$

Q_t : débit nominal majoré des pertes.

$v_{m1} = K_{m1} \sqrt{2 \cdot g \cdot H}$: vitesse débitante à l'entrée.

$\frac{t_1 + z_1}{t_1}$ = rapport qui tient compte du rétrécissement de l'écoulement.

$$- t_1 = \text{pas} = \frac{\pi \cdot D_1}{z}$$

z_1 = épaisseur de l'aube mesurée à la tangente à l'entrée.

$$v_{m1} = K_{m1} \sqrt{2 \cdot g \cdot H} \quad K_{m1} = 0,156$$

$$v_{m1} = 0,156 \sqrt{2 \cdot 9,81 \cdot 123} \quad \underline{v_{m1} = 7,633 \frac{\text{m}}{\text{s}}}$$

Comme première approximation on estime les pertes à 6%

Soit $Q_t = 1,06 \cdot Q_{nom}$.

on prend $\frac{t_1 + z_1}{t_1} = 1,2$

$$b_1 = \frac{Q_t}{\pi \cdot v_{m1} \cdot D_1} \cdot \frac{t_1 + z_1}{t_1} = \frac{1,06 \cdot 0,1025}{\pi \cdot 7,663 \cdot 0,165} \cdot 1,2$$

$$\underline{b_1 = 33 \text{ mm}}$$

- Diamètre du moyeu

on général on a $v_0 \cong v_{m1} = 7,663 \frac{m}{s}$.

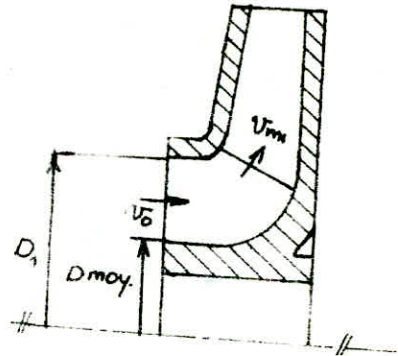
$$v_{m0} = \frac{4 Q_t}{\pi (D_1^2 - D_{moy}^2)}$$

D'où :

$$D_{moy} = \sqrt{D_1^2 - \frac{4 Q_t}{\pi \cdot v_0}}$$

$$D_{moy} = \sqrt{(0,165)^2 - \frac{4 \cdot 1,06 \cdot 0,1025}{\pi \cdot 7,663}}$$

$$\underline{D_{moy} = 96 \text{ mm}}$$



- Vitesse débitante à la sortie de la roue :

$$v_{m2} = K_{m2} \sqrt{2 \cdot g \cdot H} \quad K_{m2} = 0,11.$$

$$v_{m2} = 0,11 \sqrt{2 \cdot 9,81 \cdot 123}$$

$$\underline{v_{m2} = 5,404 \frac{m}{s}}$$

- Largeur de l'aube à la sortie de la roue :

$$b_2 = \frac{Q_t}{\pi \cdot v_{m2} \cdot D_2} \cdot \frac{t_2 + z_2}{t_2}$$

On choisit $\frac{t_2 + z_2}{t_2} = 1,02$

$$b_2 = \frac{1,06 \cdot 0,1025}{\pi \cdot 5,404 \cdot 0,324} \cdot 1,02$$

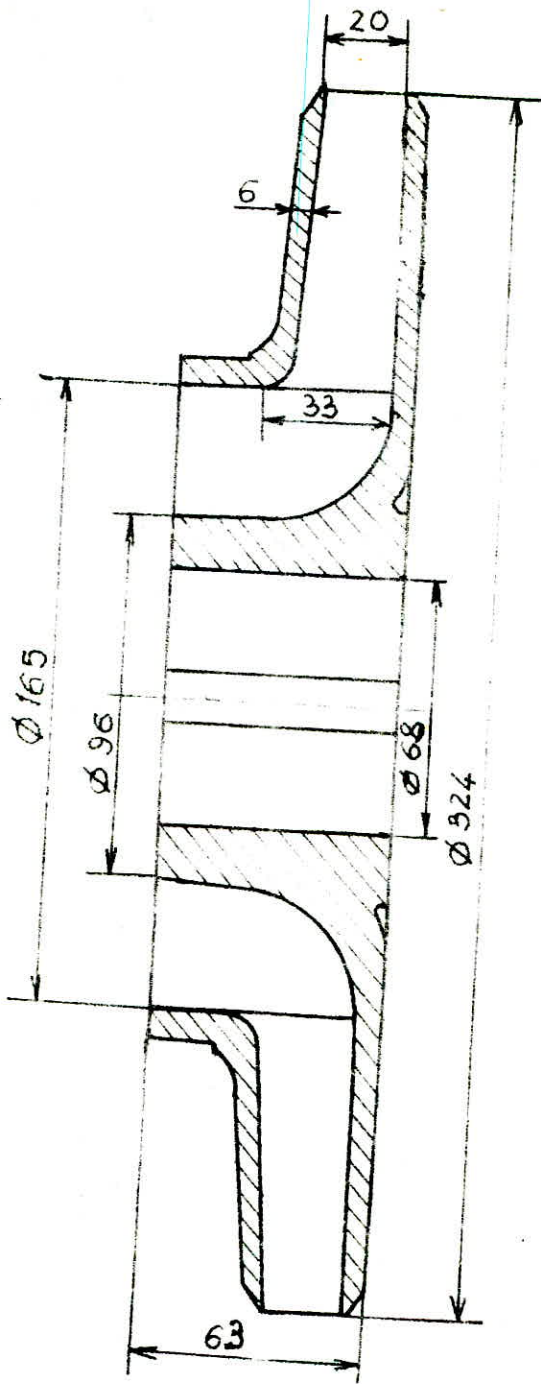
$$\underline{b_2 = 20 \text{ mm}}$$

III. 1-2 Les triangles des vitesses :

a) à l'entrée

- Vitesse périphérique

$$u_1 = \frac{\pi \cdot D_1 \cdot N}{60}$$



Echelle: 0,5

Dimensions de la roue.

$$U_1 = \frac{\pi \cdot 0,165 \cdot 2900}{60}$$

$$U_1 = 25,054 \frac{m}{s}$$

Pour une roue centrifuge on a $\alpha_1 = 90^\circ$

donc $V_{m1} = V_1 = 7,663 \frac{m}{s}$

- Angle de l'inclinaison de l'aube à l'entrée:

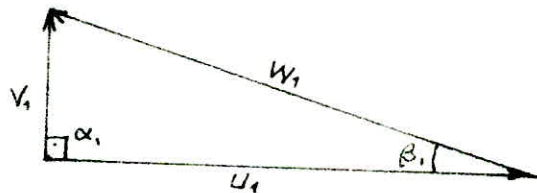
$$\beta_1 = \text{Arctg} \frac{V_1}{U_1} = \frac{7,663}{25,054}$$

d'où $\beta_1 = 17^\circ$

- Vitesse relative du fluide:

$$W_1 = \sqrt{V_1^2 + U_1^2} = \sqrt{(7,663)^2 + (25,054)^2}$$

$$W_1 = 26,210 \frac{m}{s}$$



b/ à la sortie:

- vitesse périphérique $U_2 = 49,125 \frac{m}{s}$

- Angle d'inclinaison de l'aube: on prend $\beta_2 = 22,5^\circ$
car pour cet angle on a un bon rendement.

- Vitesse absolue: $V_2 = \sqrt{V_{m2}^2 + U_2^2}$

$$V_{m2} = 5,404 \frac{m}{s}$$

$$U_{a2} = U_2 - \frac{V_{m2}}{\text{tg} \beta_2} = 49,125 - \frac{5,404}{\text{tg} 22,5} = 36,078 \frac{m}{s}$$

$$V_2 = \sqrt{(5,404)^2 + (36,078)^2} \quad \underline{V_2 = 36,480 \frac{m}{s}}$$

- Vitesse relative :

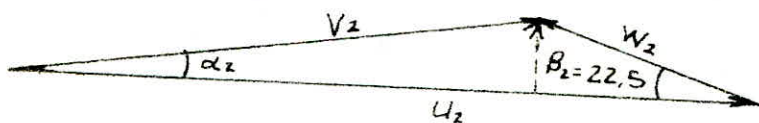
$$W_2 = \frac{V_{m2}}{\sin \beta_2} = \frac{5,404}{\sin 22,5}$$

$$\underline{W_2 = 14,121 \frac{m}{s}}$$

- l'angle α_2

$$\alpha_2 = \text{Arcsin} \frac{V_{m2}}{V_2} = \text{Arcsin} \frac{5,404}{36,48}$$

$$\underline{\alpha_2 = 8,2^\circ}$$



III. 1.3. Le type et le nombre des aubes

On choisit des aubes cylindriques car la roue a une vitesse spécifique moyenne (25,14 trs/mn). En outre ces aubes présentent un avantage sérieux qui est la simplicité de construction.

- rayon de courbure de l'aube :

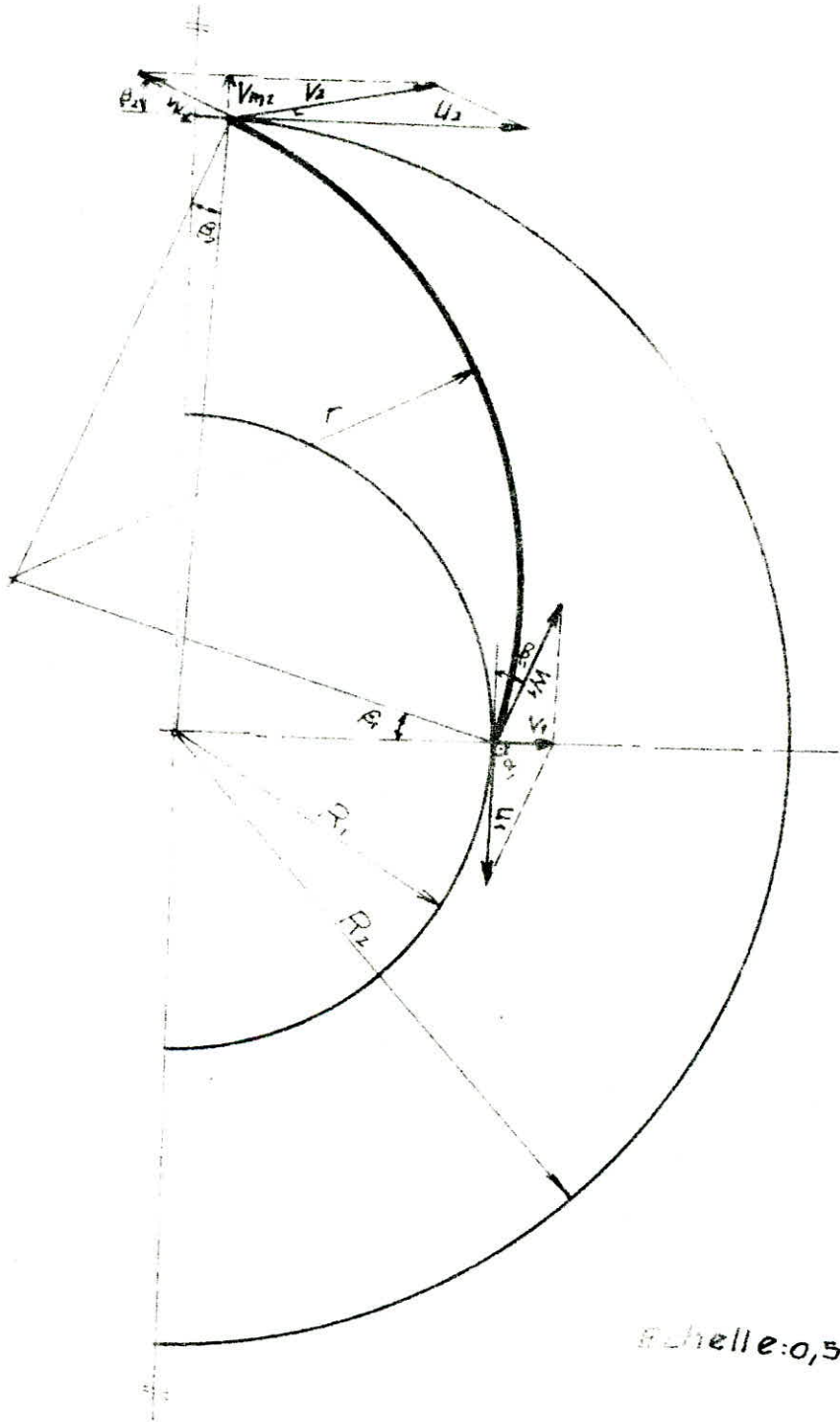
$$r = \frac{R_2^2 - R_1^2}{2(R_2 \cos \beta_2 - R_1 \cos \beta_1)}$$

$$r = \frac{(0,162)^2 - (0,0825)^2}{2(0,162 \cdot \cos 22,5 - 0,0825 \cos 17)}$$

$$\underline{r = 137,3 \text{ mm}}$$

- Nombre des aubes

STEPANOFF donne la règle empirique :



Echelle: 0,5

Construction de l'aube cylindrique

$$z = \frac{\beta_2 \text{ (en degrés)}}{3}$$

$$z = \frac{22,5}{3} = 7,5$$

on adopte z = 8 aubes

Épaisseur des aubes:

Comme on a une vitesse périphérique moyenne, l'épaisseur des aubes n'exige pas un calcul spécial car les fatigues n'excèdent pas celles qui sont permises par l'épaisseur exigée par la technique de la fonderie.

Comme on a une roue en fonte on choisit:

$$e = \underline{6 \text{ mm}}$$

III-2 Calcul de la volute.

Le calcul des diamètres des différentes sections de la volute se fait en divisant cette dernière en "n" parties égales. Chaque partie dont la section finale a un diamètre final d_i collecte $\frac{Q}{n}$ du débit refoulé :

$$k_3 \cdot \frac{\pi d_i^2}{4} = \frac{Q}{n} \Rightarrow d_i = \sqrt{\frac{Q}{n} \cdot \frac{4}{\pi \cdot k_3}}$$

V_3 étant la vitesse moyenne d'écoulement. Les meilleures pompes modernes sont tracées avec une vitesse moyenne constante pour toutes les sections de la volute. Cette vitesse moyenne dans la volute est déterminée expérimentalement à partir de la relation:

$$V_3 = k_3 \sqrt{2gH}$$

k_3 : constante déterminée en fonction de N_s .

Pour $N_s = 25,14 \text{ tr/mn}$ on a $k_3 = 0,40$.

$$V_3 = 0,4 \sqrt{2 \cdot 9,81 \cdot 123}$$

$$\underline{V_3 = 19,650 \frac{m}{s}}$$

tracé de la volute : (voir page 32)

Le débit total $Q = 0,205 \text{ m}^3/\text{s}$.

| | | | | | | | | |
|------------------|------------------|------------------|------------------|------------------|------------------|------------------|------------------|------------------|
| Q_i | $\frac{Q}{24}$ | $\frac{2Q}{24}$ | $\frac{3Q}{24}$ | $\frac{4Q}{24}$ | $\frac{5Q}{24}$ | $\frac{6Q}{24}$ | $\frac{7Q}{24}$ | $\frac{8Q}{24}$ |
| $d_i(\text{mm})$ | 23,53 | 33,27 | 40,75 | 47,95 | 52,60 | 57,63 | 62,24 | 66,54 |
| Q_i | $\frac{9Q}{24}$ | $\frac{10Q}{24}$ | $\frac{11Q}{24}$ | $\frac{12Q}{24}$ | $\frac{13Q}{24}$ | $\frac{14Q}{24}$ | $\frac{15Q}{24}$ | $\frac{16Q}{24}$ |
| d_i | 70,60 | 74,40 | 78,30 | 81,50 | 84,82 | 88,03 | 91,11 | 94,10 |
| Q_i | $\frac{17Q}{24}$ | $\frac{18Q}{24}$ | $\frac{19Q}{24}$ | $\frac{20Q}{24}$ | $\frac{21Q}{24}$ | $\frac{22Q}{24}$ | $\frac{23Q}{24}$ | Q |
| d_i | 97,00 | 99,81 | 102,55 | 105,52 | 107,80 | 110,40 | 112,83 | 115,25 |

Diamètre interne de la volute : D_3

$$D_3 = D_2 + \frac{D_2}{30} = 324 \left(1 + \frac{1}{30} \right) = 334,8 \text{ mm}$$

Soit $D_3 = 335 \text{ mm}$

III-3 Calcul des pertes et des rendements

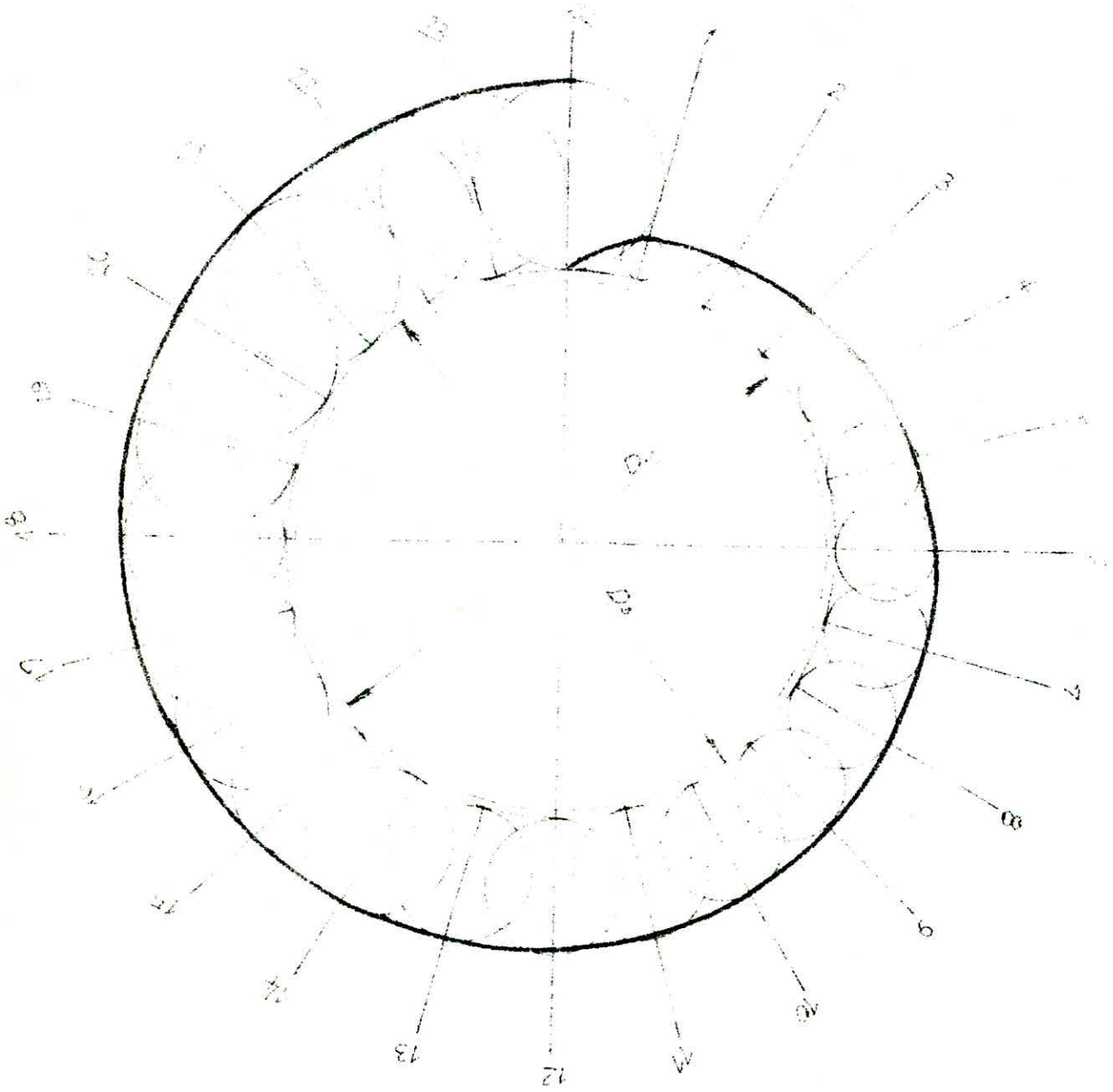
Dans une pompe il y a trois sortes de pertes d'énergie :

- les pertes hydrauliques.
- les pertes par fuite ou pertes volumétriques.
- les pertes mécaniques.

III.3.1. Pertes hydrauliques :

Elles comprennent les pertes :

- par frottement dans les canaux de la roue et dans la volute.
- par chocs dans la roue.



tracé de la volute

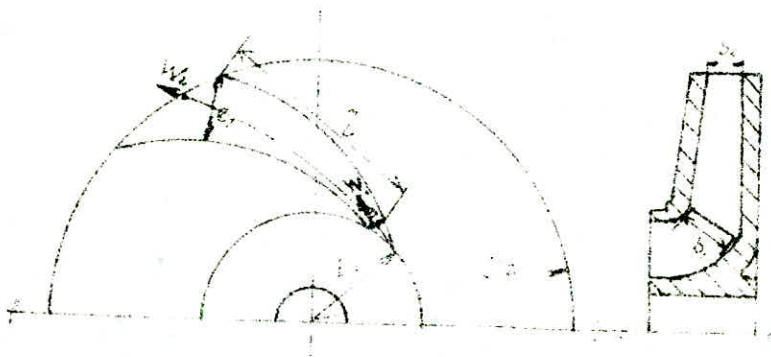
Echelle : 0,25.

a) Les pertes par frottement h_{pr}

... Dans la roue:

Pour un débit nominal, les pertes par frottement ont pour expression:

$$h_{pr} = \frac{1}{4} \lambda \cdot \frac{2e + 2b}{eb} \cdot l \cdot \frac{W^3}{2g}$$



e : largeur moyenne du canal du passage.

$$e = \frac{e_1 + e_2}{2}$$

$e_1 = 22 \text{ mm}$
 $e_2 = 39 \text{ mm}$ } relevées sur le dessin.

$$e = \frac{22 + 39}{2} = 30,5 \text{ mm.}$$

b : largeur moyenne de l'aube:

$$b = \frac{b_1 + b_2}{2} = \frac{33 + 20}{2} = 26,5 \text{ mm}$$

l : longueur du canal:

$l = 106 \text{ mm}$ (relevée sur le dessin).

W : vitesse relative moyenne dans le canal:

$$W = \frac{W_1 + W_2}{2} = \frac{26,21 + 14,21}{2} = 20,166 \frac{\text{m}}{\text{s}}$$

λ : coefficient de résistance du canal.

λ est calculé d'après la formule de MISES:

$$\lambda = 0,0096 + \frac{1}{\sqrt{e}} \left(\sqrt{K} + 17,1 \sqrt{\frac{D}{W}} \right)$$

$$D = 1,008 \cdot 10^{-6} \frac{m^3}{s}$$

Pour les fontes moulées $\sqrt{K} = 8 \cdot 10^{-3}$

$$\lambda = 0,0096 + \frac{1}{\sqrt{30,5 \cdot 10^3}} \left(8 \cdot 10^{-3} + 17,1 \sqrt{\frac{1,008 \cdot 10^6}{20,166}} \right)$$

$$\lambda = 0,0576$$

Comme on a deux roues juxtaposées la perte totale est:

$$h_{pr} = 2 \cdot \frac{\lambda}{4} \cdot \frac{2e + 2b}{eb} \cdot l \cdot \frac{W^3}{2g} = \lambda \cdot l \cdot \frac{e + b}{eb} \cdot \frac{W^3}{2g}$$

$$h_{pr} = 0,0576 \cdot 0,1056 \cdot \frac{0,0305 + 0,0265}{0,0305 \cdot 0,0265} \cdot \frac{(20,166)^3}{2 \cdot 9,81}$$

$$h_{pr} = 8,892 \text{ m}$$

- Dans la volute:

La perte totale dans la volute est la somme des pertes dans les 24 parties. Cette perte a pour expression:

$$h_{pr} = \sum_{n=1}^{24} \lambda_n \cdot \frac{l_n}{d_n} \cdot \frac{V_3^2}{2g}$$

λ_n : le coefficient de résistance de chaque partie donné par la formule de MISES:

$$\lambda_n = 0,0096 + \frac{1}{\sqrt{d_n}} \left(\sqrt{K} + 17,1 \sqrt{\frac{D}{V_3}} \right)$$

où K est une constante qui correspond à la rugosité des parois. Pour les fontes moulées on a $\sqrt{K} = 8 \cdot 10^{-3}$



Dimensions d'un
trayon d'indice 1.

d_n : diamètre moyen

$$d_n = \frac{d_i + d_e}{2}$$

l_n : longueur moyenne

$$l_n = \frac{\pi D_n}{24} \quad \text{avec } D_n = D_3 + d_n$$

$$D_3 = 335 \text{ mm.}$$

V_3 : vitesse moyenne dans la volute

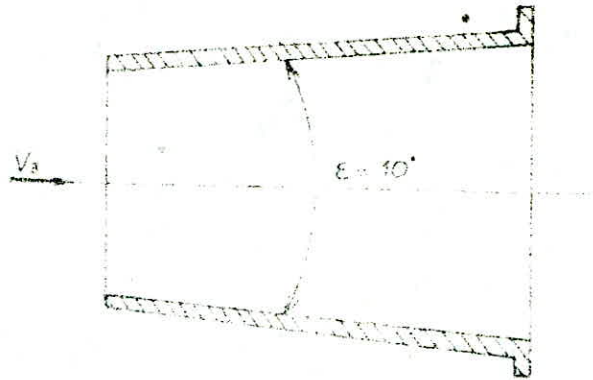
$$V_3 = 19,650 \frac{\text{m}}{\text{s}} \quad (\text{d\u00e9j\u00e0 calcul\u00e9e}).$$

D'apr\u00e8s le tableau de la page 36, on trouve une perte totale dans la volute de :

$$\underline{h_{pr} = 21,182 \text{ m.}}$$

| Parties | d_n [mm] | D_n [mm] | l_n [mm] | λ_n | $\lambda_n \cdot \frac{l_n}{d_n} \cdot \frac{V_0^2}{2g}$ [m] |
|---------|------------|------------|------------|-------------|--|
| 1 | 11,77 | 346,57 | 43,55 | 0,0869 | 6,331 |
| 2 | 28,40 | 363,20 | 47,54 | 0,0594 | 1,957 |
| 3 | 37,01 | 371,81 | 48,67 | 0,0532 | 1,373 |
| 4 | 43,90 | 378,70 | 49,57 | 0,0496 | 1,102 |
| 5 | 49,83 | 384,63 | 50,35 | 0,0471 | 0,930 |
| 6 | 55,12 | 389,92 | 51,04 | 0,0453 | 0,820 |
| 7 | 59,54 | 394,74 | 51,67 | 0,0439 | 0,740 |
| 8 | 64,39 | 399,19 | 52,25 | 0,0426 | 0,680 |
| 9 | 68,57 | 403,57 | 52,80 | 0,0416 | 0,630 |
| 10 | 72,50 | 407,30 | 53,32 | 0,0407 | 0,589 |
| 11 | 76,35 | 411,15 | 53,82 | 0,0399 | 0,553 |
| 12 | 79,9 | 414,70 | 54,28 | 0,0393 | 0,525 |
| 13 | 83,16 | 417,96 | 54,71 | 0,0387 | 0,501 |
| 14 | 86,42 | 421,22 | 55,14 | 0,0381 | 0,478 |
| 15 | 89,57 | 424,37 | 55,55 | 0,0376 | 0,459 |
| 16 | 92,61 | 427,41 | 55,95 | 0,0372 | 0,442 |
| 17 | 95,55 | 430,35 | 56,33 | 0,0367 | 0,426 |
| 18 | 98,41 | 433,21 | 56,71 | 0,0363 | 0,411 |
| 19 | 101,18 | 435,98 | 57,07 | 0,0360 | 0,400 |
| 20 | 104,04 | 438,85 | 57,44 | 0,0356 | 0,386 |
| 21 | 106,66 | 441,46 | 57,79 | 0,0353 | 0,376 |
| 22 | 109,10 | 443,90 | 58,11 | 0,0350 | 0,367 |
| 23 | 111,62 | 446,42 | 58,44 | 0,0347 | 0,357 |
| 24 | 114,04 | 448,84 | 58,75 | 0,0344 | 0,349 |

Pertes dans le cône diffuseur :



La perte dans le cône diffuseur est :

$$h_{pcd} = \xi \cdot \frac{V_3^2}{2g}$$

$$V_3 = 19,650 \frac{m}{s}$$

$$\xi = 0,09 \quad (\text{D'après l'abaque d'ANDRES}).$$

$$h_{pcd} = 0,09 \cdot \frac{(19,65)^2}{2 \cdot 9,81}$$

$$\underline{h_{pcd} = 1,771 m}$$

Pour un débit nominal, les pertes par frottement sont de :

$$h_p = h_{pr} + h_{pv} + h_{pcd} = 8,892 + 21,182 + 1,771$$

$$\underline{h_p = 31,845 m}$$

On sait que les pertes par frottement sont proportionnelles au carré du débit :

$$h_p = K_1 Q^2$$

Pour $Q = Q_{nom} = 738 \frac{m^3}{h}$ on a $h_p = 31,845 m$

$$\text{d'où } K_1 = \frac{h_p}{(Q_{nom})^2} = \frac{31,845}{(738)^2}$$

$$K_1 = 5,85 \cdot 10^{-5}$$

$$\text{c.a.d } h_p = 5,85 \cdot 10^{-5} Q^2 \quad [m] \quad \text{avec } Q \text{ en } \frac{m^3}{h}$$

| | | | | | | | | | |
|-----------------------|--------|--------|--------|--------|--------|--------|--------|--------|--------|
| Q [m ³ /h] | 0 | 64 | 128 | 192 | 256 | 320 | 384 | 448 | 512 |
| h _p [m] | 0 | 0,240 | 0,958 | 2,155 | 3,832 | 5,987 | 8,621 | 11,734 | 15,326 |
| Q | 576 | 640 | 704 | 738 | 768 | 832 | 896 | 960 | |
| h _p | 19,397 | 23,967 | 28,976 | 31,845 | 34,384 | 40,471 | 46,937 | 53,882 | |

b) Pertes par chocs :

Ces pertes sont nulles pour le débit nominal.
Leurs variations sont données par la formule empirique suivante :

$$h_p^* = \alpha_2 \cdot \left(1 - \frac{Q}{Q_{nom}}\right)^2$$

$$\alpha_2 = \frac{\varphi}{2g} \left(u_1^2 + \frac{u_2^2}{1+p}\right)$$

$$u_1 = 25,054 \frac{m}{s}$$

$$u_2 = 49,125 \frac{m}{s}$$

$$\varphi = 0,3 + 0,01 \beta_2^{(0)} = 0,3 + 0,01 \cdot 22,5 = 0,525.$$

$$p = \varphi' \cdot \frac{R_2^4}{z \cdot S}$$

$$\varphi' = 0,6 (1 + \sin \beta_2) = 0,6 (1 + \sin 22,5) = 0,830.$$

$$R_2 = \frac{D_2}{2} = \frac{324}{2} = 162 \text{ mm}$$

z : nombre d'aubes z = 8

S : moment statique du filet méridien

Pour les roues radiales : $S = \frac{1}{2} (R_2^4 - R_1^4) = \frac{1}{8} (D_2^4 - D_1^4)$.

$$S = \frac{1}{8} (0,324^4 - 0,162^4) = 9,72 \cdot 10^{-3} \text{ m}^4$$

$$p = 0,830 \cdot \frac{(0,162)^4}{8 \cdot 9,72 \cdot 10^{-3}} \quad p = 0,28$$

$$\alpha_2 = \frac{0,525}{2 \cdot 9,81} \left[(25,054)^2 + \frac{(49,125)^2}{1 + 0,28} \right]$$

$$\alpha_2 = 67,394 \text{ [m]}.$$

D'où l'expression finale des pertes par chocs:

$$h_p^* = 67,394 \left(1 - \frac{Q}{738}\right)^2$$

| | | | | | | | | | |
|---------------------------------|--------|--------|--------|--------|--------|--------|--------|--------|-------|
| Q [m ³ /h] | 0 | 64 | 128 | 192 | 256 | 320 | 384 | 448 | 512 |
| h _p [*] [m] | 67,394 | 56,212 | 46,044 | 36,889 | 28,748 | 21,620 | 15,507 | 10,406 | 6,320 |
| Q | 576 | 640 | 704 | 738 | 768 | 832 | 896 | 960 | |
| h _p [*] | 3,247 | 1,188 | 0,145 | 0 | 0,112 | 1,093 | 3,089 | 6,098 | |

III-3-2. Caractéristique de la pompe - Rendement hydraulique:

a/- Caractéristique de la pompe:

La caractéristique d'une pompe est courbe qui donne la variation de la hauteur en fonction du débit.

- Hauteur théorique pour un nombre fini d'aubes:

$$Q = 0 \quad H_{th} = \frac{U_2^2 (K \sqrt{2gH})^2}{g} = K_u 2H = 12 \cdot 123 = 246 \text{ m.}$$

$$Q = 738 \frac{\text{m}^3}{\text{h}} \quad H_{th} = \frac{U_2 \cdot V_{u2}}{g} = \frac{U_2}{g} (U_2 - W_2 \cdot \cos 22,5)$$

$$H_{th} = \frac{49,125}{9,81} (49,125 - 14,121 \cos 22,5)$$

$$H_{th} = 180,275 \text{ m.}$$

- Hauteur théorique pour un nombre infini d'aubes

$$H_{th\infty} = (1+p) H_{th} \quad p = 0,280 \text{ (déjà calculé).}$$

$$Q = 0 \quad H_{th\infty} = 1,28 \cdot 246 = 314,88 \text{ m}$$

$$Q = 738 \frac{\text{m}^3}{\text{h}} \quad H_{th\infty} = 1,28 \cdot 180,275 = 230,752 \text{ m}$$

La hauteur réelle d'élevation est définie comme suit.

$$H = H_{th} - \Sigma \text{pertes} = H_{th} - (h_p + h'_p)$$

b) Rendement hydraulique : η_h

$$\eta_h = \frac{H}{H_{th}}$$

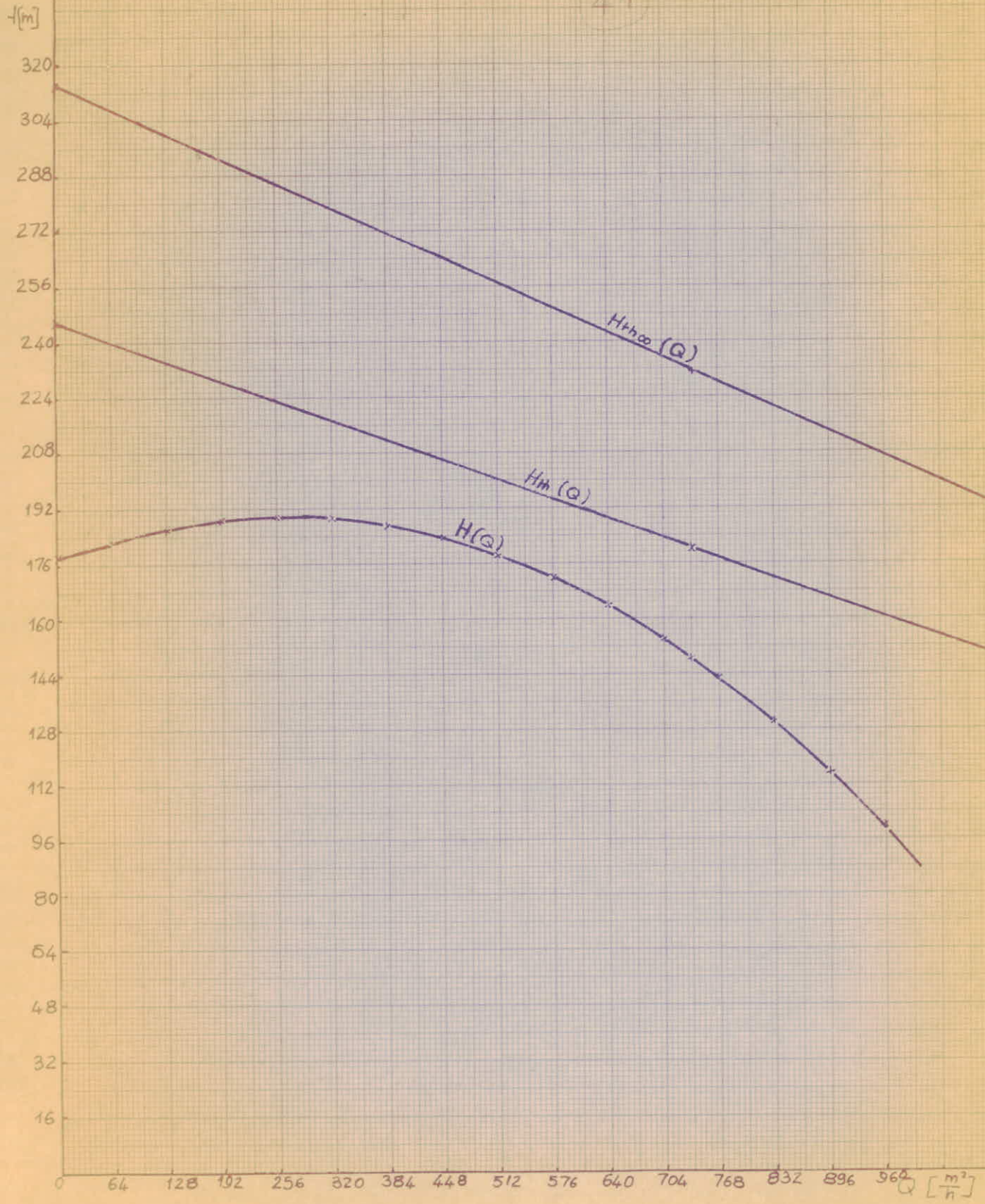
Tableau de valeurs.

| | | | | | | | | | |
|----------------------------------|---------|--------|--------|--------|--------|--------|--------|--------|--------|
| $Q \left[\frac{m^3}{h} \right]$ | 0 | 64 | 128 | 192 | 256 | 320 | 384 | 448 | 512 |
| $h_p + h'_p [m]$ | 67,394 | 56,452 | 47,002 | 39,044 | 32,580 | 27,607 | 24,128 | 22,140 | 21,646 |
| $H_{th} [m]$ | 246 | 239,2 | 230,1 | 228,4 | 222,72 | 217,12 | 211,52 | 205,76 | 200 |
| $H [m]$ | 178,606 | 182,75 | 187,10 | 189,36 | 194,14 | 189,32 | 187,39 | 183,62 | 178,35 |
| $\eta_h [\%]$ | 72,6 | 76,4 | 79,9 | 82,9 | 85,4 | 87,3 | 88,6 | 89,3 | 89,2 |
| Q | 576 | 640 | 704 | 738 | 768 | 832 | 896 | 960 | |
| $h_p + h'_p$ | 22,614 | 25,135 | 29,119 | 31,845 | 34,496 | 41,564 | 50,026 | 59,980 | |
| H_{th} | 194,72 | 188,8 | 183,36 | 180,27 | 177,6 | 172,16 | 165,12 | 160,8 | |
| H | 172,11 | 163,67 | 154,24 | 148,43 | 143,11 | 130,50 | 115,09 | 100,82 | |
| η_h | 88,4 | 86,7 | 84,10 | 82,40 | 80,6 | 75,9 | 69,7 | 62,7 | |

N.B:

Les valeurs de H_{th} sont relevées sur le graphe.

41



caractéristique de la pompe.

III.3.3 Pertes par fuite:

Les pertes par fuite sont dues aux chicanes existants entre la roue et la bague d'usure.

Pour le débit nominal, le débit de fuite est déterminé à l'aide de la formule :

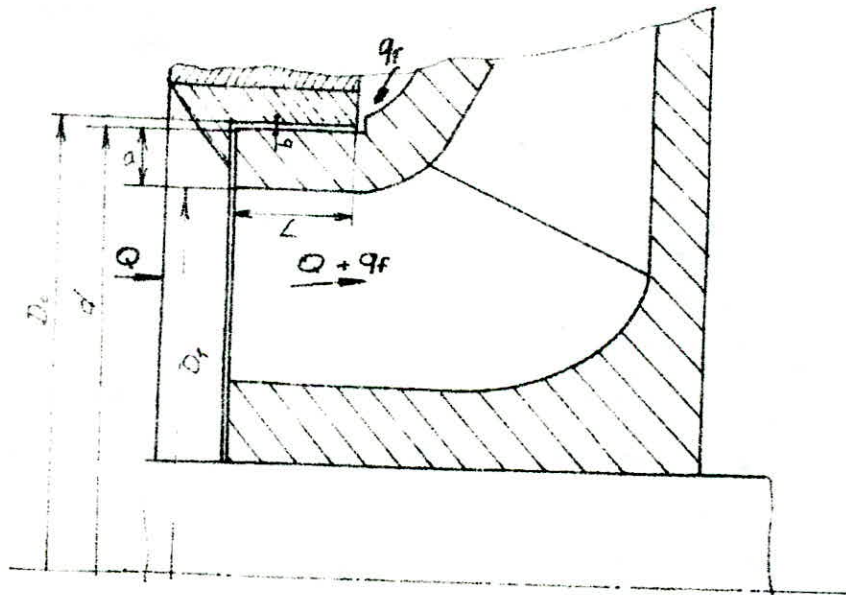
$$q_f = \mu \cdot S \sqrt{2g \cdot \Delta H}$$

μ : coefficient du débit: il tient compte de la contraction à l'entrée du jeu et du frottement.

S : section du jeu.

ΔH hauteur correspondante à la différence de pressions entre les deux côtés du joint.

. Dimensions d'une chicane:



$a = 8 \text{ mm}$

$L = 17 \text{ mm}$

$b = 0,7 \text{ mm}$

} ces valeurs sont données par STEPANOFF.

$$d = D_1 + 2a = 165 + 2 \cdot 8 = 181 \text{ mm.}$$

$$D_o = d + 2 \cdot b = 181 + 2 \cdot 0,7 = 182,4 \text{ mm}$$

- Calcul de la section de fuite S .

$$S = \pi \cdot d \cdot b = \pi \cdot (181 \cdot 0,7) \cdot 10^{-6} = 3,98 \cdot 10^{-4} \text{ m}^2$$

- Calcul du coefficient de débit μ :

$$\mu = \frac{1}{\sqrt{\frac{\lambda L}{2b} + 1,5 + 1,1 Z}} \quad Z : \text{étant le nombre d'aubes}$$

Pour l'eau $\lambda = 0,025$ à $0,05$

on prend $\lambda = 0,03$ (eau froide).

$$\mu = \frac{1}{\sqrt{\frac{0,03 \cdot 17}{2 \cdot 0,7} + 1,5 + 1,1 \cdot 8}} = 0,3062$$

- Calcul de la hauteur ΔH :

$$\Delta H \cong \frac{1}{2g} \left[\frac{3}{4} u_2^2 + \frac{1}{4} u_o^2 - \left(u_2 - \frac{u_{m2}}{\tan \beta_2} \right)^2 \right]$$

$$u_o = \frac{\pi D_o \cdot N}{60} = \frac{\pi \cdot 0,1824 \cdot 2900}{60} = 27,696 \frac{\text{m}}{\text{s}}$$

$$\Delta H \cong \frac{1}{2 \cdot 9,81} \left[\frac{3}{4} (49,125)^2 + \frac{1}{4} (27,696)^2 - \left(49,125 - \frac{5,404}{\tan \beta_2} \right)^2 \right]$$

$$\Delta H = 35,686 \text{ m.}$$

Donc pour le débit nominal ($Q = 738 \frac{\text{m}^3}{\text{h}}$) on a:

$$q_f = (\mu \cdot S \cdot \sqrt{2g \cdot \Delta H}) = 0,3062 \cdot 3,98 \cdot 10^{-4} \sqrt{2 \cdot 9,81 \cdot 35,686}$$

$$q_f = 3,225 \text{ l/s} = 11,610 \text{ m}^3/\text{h.}$$

Comme on a deux roues juxtaposées c.a.d on a deux chicanes, le débit de fuite total est:

$$q_{ft} = 2 \cdot q_f = 2 \cdot 11,61 = 23,219 \frac{m^3}{h}$$

Pour les débits, autres que le débit nominal, le débit de fuite q_f est proportionnel à \sqrt{H} , d'où:

$$q_f = \alpha \cdot \sqrt{H}$$

Pour $Q = Q_{nom} = 738 \frac{m^3}{h}$ on a $H = 148,432$ m et $q_f = 23,219 \frac{m^3}{h}$

$$\text{d'où: } \alpha = \frac{23,219}{\sqrt{148,432}} \Rightarrow \alpha = 1,906$$

c.a.d que $q_f = 1,906 \sqrt{H}$

III.3-4 Rendement volumétrique:

Le rendement volumétrique est défini par:

$$\eta_v = \frac{1}{1 + \frac{q_f}{Q}}$$

| | | | | | | | | | |
|------------------------------------|--------|--------|--------|--------|--------|--------|--------|--------|--------|
| $Q \left[\frac{m^3}{h} \right]$ | 0 | 64 | 128 | 192 | 256 | 320 | 384 | 448 | 512 |
| $H [m]$ | 173,60 | 182,75 | 187,10 | 189,36 | 190,14 | 189,32 | 187,39 | 183,62 | 178,35 |
| $q_f \left[\frac{m^3}{h} \right]$ | | 25,76 | 26,07 | 26,23 | 26,28 | 26,22 | 26,09 | 25,83 | 25,45 |
| $\eta_v (\%)$ | 0 | 71,3 | 83,1 | 88,0 | 90,7 | 92,4 | 93,6 | 94,5 | 95,3 |
| Q | 576 | 640 | 704 | 738 | 768 | 832 | 896 | 960 | |
| H | 172,11 | 163,67 | 154,24 | 148,43 | 143,10 | 130,50 | 115,09 | 100,82 | |
| q_f | 25,00 | 24,38 | 23,67 | 23,22 | 22,80 | 21,77 | 20,45 | 19,14 | |
| η_v | 95,8 | 96,3 | 96,7 | 97,0 | 97,1 | 97,5 | 97,8 | 98,0 | |

III. 3. 5. Pertes mécaniques

Les pertes mécaniques sont constituées par:

- les pertes par frottement du disque.
- les pertes par frottements dans la presse-étoupe et dans les paliers.

a) Pertes par frottement du disque:

Ce sont les pertes dues au frottement du disque de la roue sur le fluide. Ces pertes sont constantes pour tous les débits. La puissance dissipée par frottement du disque est donnée par la formule empirique:

$$P_{fd} = C' \cdot U_2^3 \cdot D_2^2 \left(1 + \frac{5 \cdot b}{D_2} \right) \cdot \frac{1}{10^3} \quad [\text{KW}]$$

C' : facteur dépendant du coefficient de frottement du disque sur le fluide. Pour les surfaces de la fonte moulée on a:

$$C' = 0,075$$

U_2 : vitesse périphérique du disque (de la roue):

$$U_2 = 49,125 \frac{\text{m}}{\text{s}}$$

D_2 : diamètre extérieur de la roue

$$D_2 = 0,324 \text{ m.}$$

b : largeur du disque.

$$b = 2 b_2 = 2 \cdot 20 = 40 \text{ mm.} = 0,04 \text{ m}$$

D'où :

$$P_{fd} = 0,075 (49,125)^3 \cdot (0,324)^2 \left(1 + \frac{5 \times 0,04}{0,324} \right) \frac{9,81}{1000}$$

$$P_{fd} = 14,874 \text{ Kw.}$$

b) Pertes dans la presse-étoupe (P_f') et dans les paliers (P_f''):
 En général pour les grosses pompes $P_f' + P_f''$ est estimée à 2%

$$P_i = \frac{\bar{\omega} \cdot Q \cdot H}{\eta_h \cdot \eta_v} = \frac{\bar{\omega} \cdot Q \cdot H_h}{\eta_v}$$

La puissance totale perdue par frottement est:

$$P_p = P_{fd} + P_f' + P_f'' = 14,874 + 0,02 P_i$$

III.3.6 Rendement mécanique:

$$\eta_m = \frac{1}{1 + \frac{P_{fd} + P_f' + P_f''}{P_i}}$$

| | | | | | | | | | |
|----------------------------------|--------|-------|-------|-------|-------|-------|-------|-------|-------|
| $Q \left[\frac{m^3}{h} \right]$ | 0 | 64 | 128 | 192 | 256 | 320 | 384 | 448 | 512 |
| $H_m [m]$ | 246 | 239,2 | 234,1 | 228,4 | 222,7 | 217,1 | 211,5 | 205,8 | 200,0 |
| $P_i [kW]$ | 0 | 58,51 | 98,26 | 135,8 | 171,3 | 204,9 | 236,8 | 265,8 | 292,8 |
| $P_p [kW]$ | 14,874 | 16,04 | 16,84 | 17,59 | 18,30 | 18,87 | 19,61 | 20,19 | 20,73 |
| $\eta_m (\%)$ | 0 | 78,5 | 85,4 | 88,5 | 90,3 | 91,6 | 92,4 | 93,0 | 93,4 |
| \odot | 576 | 640 | 704 | 768 | 832 | 896 | 960 | | |
| H_{tr} | 194,7 | 188,8 | 183,4 | 180,3 | 177,6 | 172,2 | 165,1 | 160,8 | |
| P_i | 319,0 | 341,9 | 363,8 | 373,8 | 382,8 | 400,3 | 412,2 | 429,2 | |
| P_p | 21,25 | 21,71 | 22,15 | 22,35 | 22,53 | 22,88 | 23,12 | 23,46 | |
| η_m | 93,8 | 94,0 | 94,3 | 94,4 | 94,5 | 94,6 | 94,7 | 94,8 | |

III. 3. 7. Rendement global

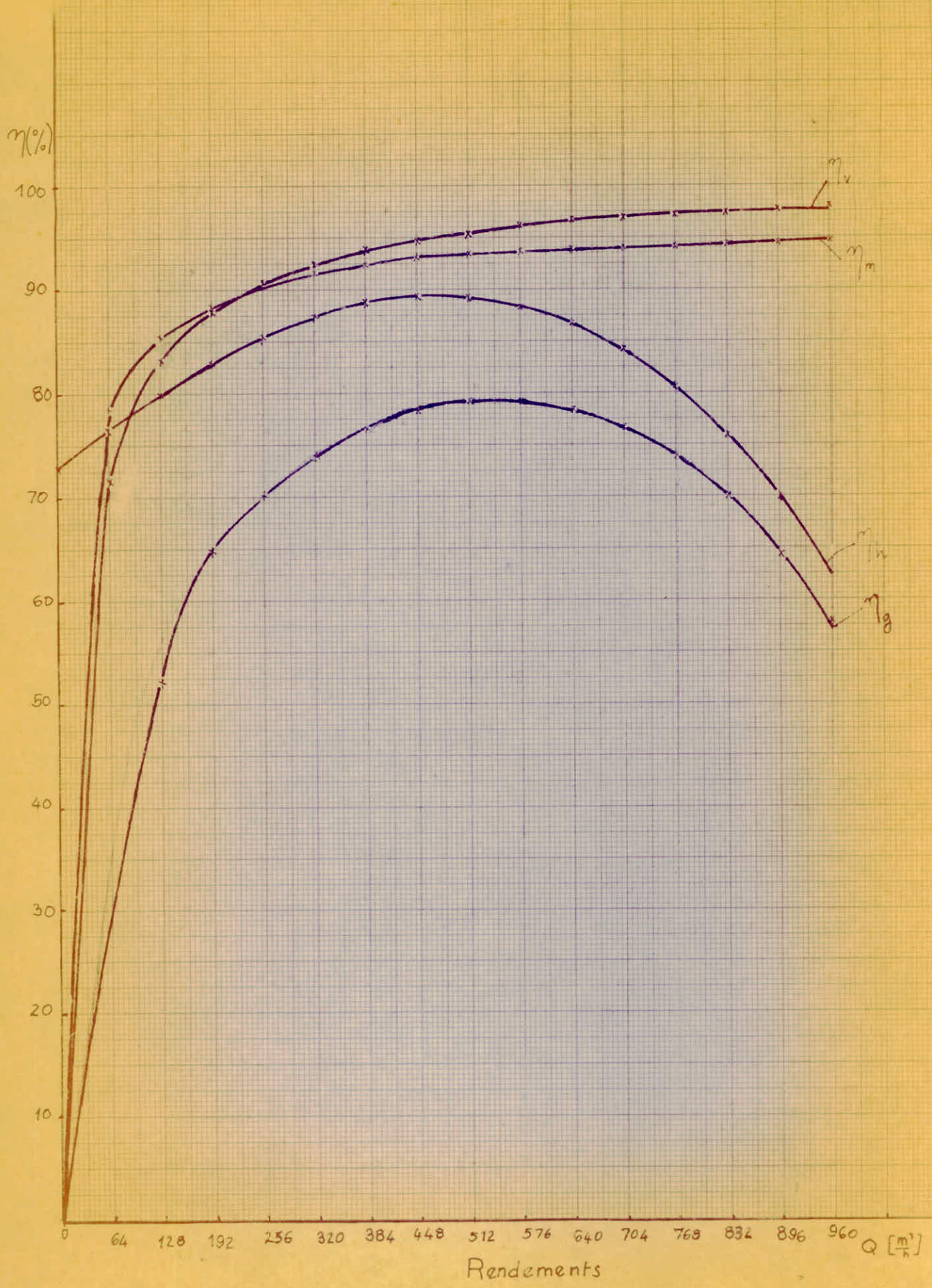
$$\eta_g = \eta_h \cdot \eta_v \cdot \eta_m$$

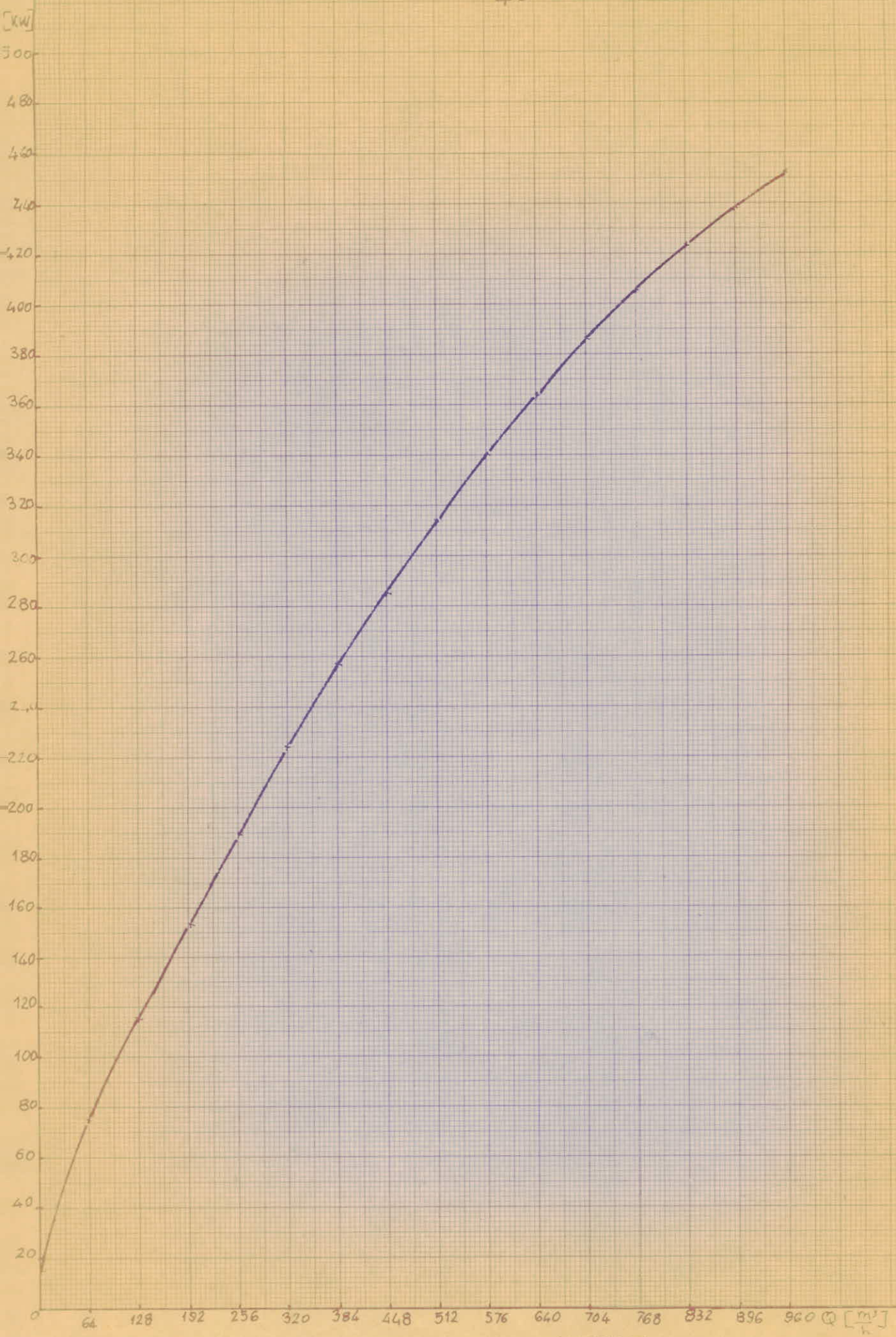
| | | | | | | | | | |
|----------------------------------|------|------|------|------|------|------|------|------|------|
| $Q \left[\frac{m^3}{h} \right]$ | 0 | 64 | 128 | 192 | 256 | 320 | 384 | 448 | 512 |
| $\eta_h(\%)$ | 72,6 | 76,4 | 79,9 | 82,9 | 85,4 | 87,3 | 88,6 | 89,3 | 89,2 |
| $\eta_v(\%)$ | 0 | 71,3 | 83,1 | 88,0 | 90,7 | 92,4 | 93,6 | 94,5 | 95,3 |
| $\eta_m(\%)$ | 0 | 78,5 | 85,4 | 88,5 | 90,3 | 91,6 | 92,4 | 93,0 | 93,4 |
| $\eta_g(\%)$ | 0 | 42,3 | 56,7 | 64,6 | 70,0 | 73,9 | 76,6 | 78,5 | 79,4 |
| Q | 576 | 640 | 704 | 738 | 768 | 832 | 896 | 960 | |
| η_h | 88,4 | 86,7 | 84,1 | 82,4 | 80,6 | 79,9 | 69,7 | 62,7 | |
| η_v | 95,8 | 94,3 | 94,7 | 97,0 | 97,1 | 97,5 | 97,8 | 98,0 | |
| η_m | 93,8 | 94,0 | 94,3 | 94,4 | 94,5 | 94,6 | 94,7 | 94,8 | |
| η_g | 79,4 | 78,5 | 76,7 | 75,5 | 74,0 | 70,0 | 64,5 | 58,2 | |

III. 3. 8. Puissance absorbée (sur l'arbre):

$$P_a = P_i + P_p$$

| | | | | | | | | | |
|----------------------------------|-------|-------|-------|-------|-------|-------|--------|-------|-------|
| $Q \left[\frac{m^3}{h} \right]$ | 0 | 64 | 128 | 192 | 256 | 320 | 384 | 448 | 512 |
| P_i [kW] | 0 | 38,51 | 98,26 | 135,8 | 171,3 | 204,9 | 236,8 | 265,8 | 292,8 |
| P_p [kW] | 14,87 | 16,04 | 16,84 | 17,59 | 18,30 | 18,87 | 19,61 | 20,19 | 20,73 |
| P_a [kW] | 14,87 | 74,55 | 115,1 | 153,4 | 189,6 | 223,8 | 256,4 | 286,0 | 313,5 |
| Q | 576 | 640 | 704 | 738 | 768 | 832 | 896 | 960 | |
| P_i | 319,0 | 341,9 | 363,8 | 373,8 | 382,8 | 400,3 | 412,20 | 429,2 | |
| P_p | 21,25 | 21,71 | 22,15 | 22,35 | 22,53 | 22,88 | 23,12 | 23,46 | |
| P_a | 340,3 | 363,6 | 386,0 | 396,1 | 405,3 | 423,2 | 435,4 | 452,7 | |





courbe des puissances

III-4. Étude mécanique:

III-4-1. L'arbre:

af- Choix du matériau:

Comme l'arbre est en permanence en contact avec l'eau, on le choisit en acier inoxydable afin d'éviter sa corrosion. C'est un acier fortement allié de nuance: 215CN18

Sa résistance minimale à la rupture est: $R = 75 \frac{\text{daN}}{\text{mm}^2}$

La contrainte admissible à la traction est: $\sigma_a = \frac{R}{k}$, où k est le coefficient de sécurité. Pour des sollicitations répétées et connues $k=5$. D'où $\sigma_a = \frac{R}{k} = \frac{75}{5} = 15 \frac{\text{daN}}{\text{mm}^2}$.

La contrainte admissible au cisaillement est: $\tau_a = 0,7 \sigma_a = 0,7 \cdot 15 = 10,5 \frac{\text{daN}}{\text{mm}^2}$

b/- Vérification à la torsion:

La section minimale a pour diamètre:

$$d_m \geq \sqrt{\frac{16 M_t \cdot 10^3}{\pi \tau_a}} \quad [\text{mm}]$$

M_t est le couple de torsion.

$$M_t = \frac{P_a}{\omega} = \frac{30 P_a}{\pi \cdot N}$$

P_a est la puissance sur l'arbre nécessaire pour le débit nominal: $Q = Q_{\text{nom}} = 738 \frac{\text{m}^3}{\text{h}}$, majorée de 17%.

$$P_a = (P_a)_{Q=Q_{\text{nom}}} (1 + 0,17)$$

D'après la courbe des puissances on $(P_a)_{Q=Q_n} = 396,1 \text{ kW}$.

$$\text{D'où: } M_t = \frac{P_a \cdot 30}{\pi \cdot N} = \frac{396,1 \cdot 1,17 \cdot 30}{\pi \cdot 2900} \cdot 10^3 = 1526,04 \text{ N}\cdot\text{m}$$

$$d_m \geq \sqrt{\frac{1526,04 \cdot 10^3}{\pi \cdot 10,5}} = 42 \text{ mm}$$

on prend un diamètre normalisé: $d_m = 45 \text{ mm}$

c/. Vérification à la flexion:

- Calcul de la flèche:

La flèche de l'arbre est due au poids de l'arbre et au poids de 2 roues.

Poids des roues:

Une roue est constituée de 8 aubes, de 2 flasques et du moyeu.

Poids des aubes:

$$P_a = m_a \cdot g = z \cdot l_m \cdot e_m \cdot b_m \cdot \rho_f \cdot g$$

$l_m = 106 \text{ mm}$ (levée sur le dessin).

$$e_m = 6 \text{ mm}, \quad b_m = \frac{20+33}{2} = 26,5 \text{ mm}, \quad \rho_f = 7200 \frac{\text{kg}}{\text{m}^3}, \quad z = 8$$

$$P_a = 8 \cdot 0,106 \cdot 0,006 \cdot 0,0205 \cdot 7200 \cdot 9,81 = 7,367 \text{ N}$$

Poids des flasques

$$P_f = m_f \cdot g = 2 \cdot \frac{\pi}{4} (D_2^2 - D_{\text{moy}}^2) \cdot e \cdot \rho_f \cdot g$$

$$P_f = 2 \cdot \frac{\pi}{4} (0,324^2 - 0,096^2) \cdot 0,006 \cdot 7200 \cdot 9,81 = 63,747 \text{ N}$$

Poids du moyeu:

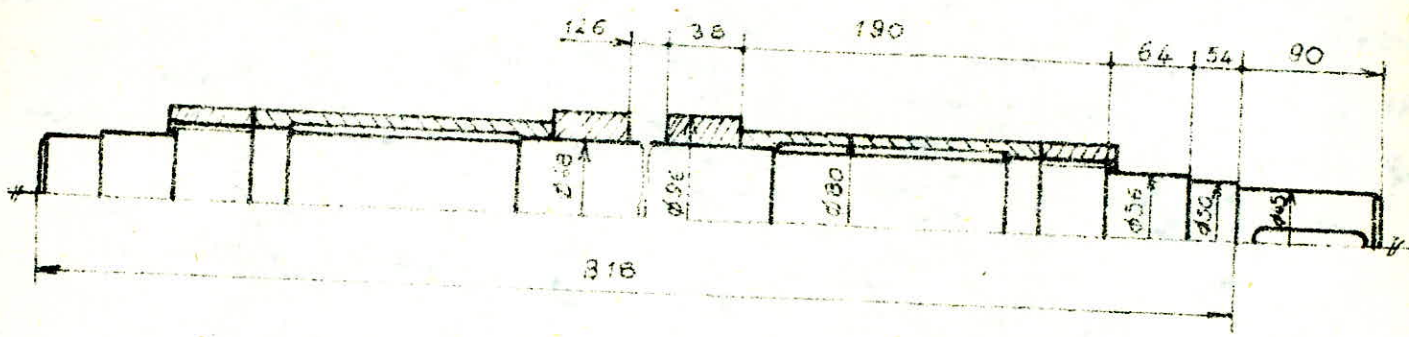
$$P_m = \frac{\pi}{4} (D_{\text{moy}}^2 - d_a^2) \cdot c \cdot \rho_f \cdot g =$$

$$P_m = \frac{\pi}{4} (0,096^2 - 0,068^2) \cdot 0,063 \cdot 7200 \cdot 9,81 = 16,049 \text{ N}$$

Le poids total des 2 roues est:

$$P_r = 2 (7,367 + 63,747 + 16,049) = 174,326 \text{ N} \approx 17,433 \text{ daN}$$

Poids de l'arbre (+ le poids des chemises).



Le poids total de l'arbre est:

$$P_a = \rho_a \cdot g \cdot \frac{\pi}{4} \sum d_i^2 \cdot l_i$$

d_i, l_i sont respectivement le diamètre, la longueur de chaque partie.

ρ_a : poids volumique de l'acier. $\rho_a = 7850 \frac{kg}{m^3}$

$$P_a = \frac{\pi}{4} \cdot 3.81 \cdot 7850 \left[2(0.096^2 \cdot 0.038 + 0.08^2 \cdot 0.19 + 0.056^2 \cdot 0.064 + 0.05^2 \cdot 0.054) + 0.045^2 \cdot 0.90 + 0.068^2 \cdot 0.126 \right]$$

$$P_a = 287,350 \text{ N} = 28,735 \text{ daN}$$

Comme on a un arbre pratiquement symétrique, KOVATS donne pour la flèche la formule suivante:

$$f = \left(\frac{P_a}{48} + \frac{5P_a}{384} \right) \frac{l^3}{EI}$$

l : longueur de l'arbre

E : module d'élasticité

I : moment d'inertie de l'arbre.

$$E = 2,1 \cdot 10^6 \frac{\text{daN}}{\text{cm}^2}$$

$$l = 818 \text{ mm} = 0,818 \text{ m}$$

$$I = \frac{\pi d^4}{64} \quad \text{Afin de prendre la flèche maximum on prend}$$

$$d = d_m = 4,5 \text{ cm}$$

$$I = \frac{\pi (4,5)^4}{64} = 20,130 \text{ cm}^4$$

$$f = \frac{l^3}{EI} \left(\frac{P_1}{48} + \frac{5P_2}{384} \right) = \frac{(81,8)^3}{2,1 \cdot 10^6 \cdot 20,13} \left(\frac{17,433}{48} + \frac{5 \cdot 28,735}{384} \right)$$

$$f = 9,55 \cdot 10^{-3} \text{ cm}$$

Pour la flexion le diamètre de l'arbre est vérifié à l'aide de la formule suivante:

$$d \geq \sqrt[3]{\frac{(2P_1 + P_2) \cdot l}{0,8 \cdot E}} \quad [\text{cm}]$$

$$d \geq \sqrt[3]{\frac{(2 \cdot 17,433 + 28,735) \cdot 81,8}{0,8 \cdot 1500}}$$

$$d \geq 1,63 \text{ cm} = 16,3 \text{ mm} \quad \text{cette relation est vérifiée.}$$

- Vitesse critique de l'arbre:

c'est la vitesse pour laquelle la flèche deviendrait infinie (théoriquement).

$$N_{cr} = 9,55 \sqrt{\frac{g}{f}}$$

g en $\frac{\text{cm}}{\text{s}^2}$

f en cm

N_{cr} en trs/mn

$$N_{cr} = 9,55 \sqrt{\frac{981}{0,00955}} = 3100 \text{ trs/mn} > 2900 \text{ trs/mn}$$

Donc le régime de fonctionnement de la pompe est loin du régime critique.

N.B.

On trouve une vitesse critique relativement faible car la valeur de la valeur de la flèche est un peu exagérée (Toutes les sections de l'arbre sont supérieures à $\phi 45 \text{ mm}$).

d/ choix des roulements:

- Charge dynamique équivalente :

$$P = X \cdot V \cdot F_r + Y \cdot F_a$$

X : facteur radial.

V : facteur de vitesse.

F_r : charge radiale.

Y : facteur axial.

F_a : charge axiale.

Dans notre cas on a :

$$X = 1, V = 1, F_a = 0$$

$$P = F_r = \frac{P_0 + P_r}{2} = \frac{28,735 + 17,433}{2} = 23,084 \text{ daN}$$

- charge dynamique de base :

$$C = P \left(\frac{L_h \cdot N}{16666} \right)^{\frac{1}{k}}$$

L_h : Durée nominale de fonctionnement en heures

on fixe cette durée à 3 années: soit :

$$L_h = 3 \times 365 \times 24 = 26280 \text{ heures}$$

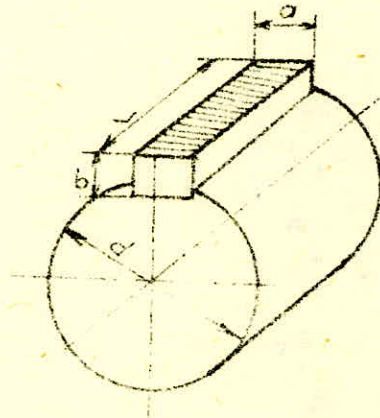
$k=3$ pour les roulements à billes.

$$C = 23,084 \left(\frac{26280 \cdot 2900}{16666} \right)^{\frac{1}{3}} = 383,16 \text{ daN}$$

Donc pour chaque palier on choisit un roulement à bille.
designation : 50BC02X.

et calcul des clavettes

→ la clavette qui relie l'arbre aux 2 roues. Il suffit de la vérifier au cisaillement.



$$\frac{F_t}{S} \leq \tau_a$$

$$F_t = \frac{2M_t}{d} = \frac{2 \cdot 1526,04}{0,068} = 44883,53 \text{ N} = 4488,353 \text{ daN}$$

S: section de cisaillement : $S = L \cdot b$

τ_a : contrainte admissible de cisaillement. Le matériau de la clavette est le même que celui de l'arbre: $\tau_a = 10,5 \frac{\text{daN}}{\text{mm}^2}$

$$\begin{aligned} \text{D'où : } L \cdot b &\geq \frac{F_t}{\tau_a} \\ &\geq \frac{4488,353}{10,5} = 427,46 \text{ mm}^2 \end{aligned}$$

On choisit une clavette normalisée. Pour $d = 68 \text{ mm}$ on a les dimensions suivantes:

$$L = 100 \text{ mm}$$

$$b = 12 \text{ mm}$$

$$a = 20 \text{ mm}$$

- La clavette d'accouplement:

$$d = 45 \text{ mm}$$

$$F_t = \frac{2M_t}{d} = \frac{2 \times 1526,04}{0,045} = 6782,4 \text{ daN}$$

$$L_b \geq \frac{F_t}{\tau_a} = \frac{6782,4}{10,5} = 645,943 \text{ mm}^2$$

Pour $d = 45 \text{ mm}$, on a les dimensions suivantes:

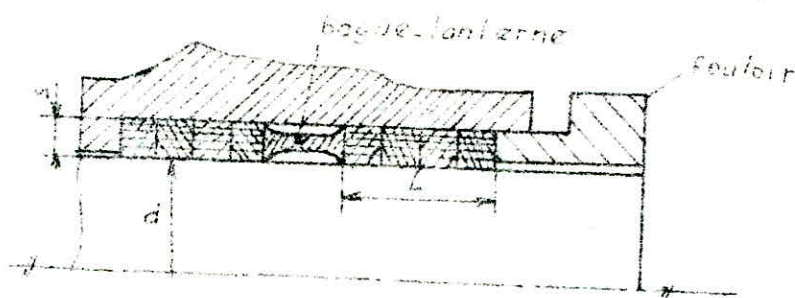
$$L = 80 \text{ mm}$$

$$b = 10 \text{ mm}$$

$$a = 14 \text{ mm}$$

f1 - Presse-étoupe:

Elle assure l'étanchéité au niveau de l'arbre. Elle est constituée de tresses en matière synthétique soufflées.



On a 2 garnitures de tresses séparées par une bague-lanterne qui assure le refroidissement de la presse-étoupe.

Les dimensions sont:

$$s = 0,7 \text{ à } 1\sqrt{d} \quad ; \quad L = 3 \text{ à } 5s$$

$$d = 80 \text{ mm} \quad \text{d'où} \quad s = 8 \text{ mm}$$

$$L = 4 \cdot s = 4 \cdot 8 = 32 \text{ mm}$$

III.4-2. L'Épaisseur de la volute:

La volute est moulée en fonte à graphite sphéroïdal. Son épaisseur est donnée par la formule:

$$e \geq \sqrt{\frac{p \cdot D^3}{4 \sigma_a}}$$

$p = \rho \cdot g \cdot H$: pression dans la volute

H : hauteur manométrique totale majorée des pertes dans la volute

$$H = 148,43 + 21,182 = 169,612 \text{ m.}$$

$$p = \rho \cdot g \cdot H = 1000 \cdot 9,81 \cdot 169,612 = 16,64 \frac{\text{daN}}{\text{cm}^2}$$

D : diamètre de la section finale:

$$D = 115,25 \text{ mm.}$$

σ_a = contrainte admissible. Pour la fonte $\sigma_a = 300 \frac{\text{daN}}{\text{cm}^2}$

$$e \geq \sqrt{\frac{16,64 \cdot (115,25)^3}{4 \cdot 300}} = 1,36 \text{ cm} = 13,6 \text{ mm}$$

Soit une épaisseur moulable: $e = 14 \text{ mm.}$

III.4-3. Équilibrage:

Dans le cas des pompes à 2 entrées, les roues sont théoriquement équilibrées du fait des poussées agissant en sens contraire. Mais il ya toujours une faible poussée résiduelle due aux différences de jeux des chicanes ou de la pression d'aspiration. Donc il suffit de prévoir un polier de butée (roulement ayant les deux bagues bloquées complètement).

CHIV. FONCTIONNEMENT DE L'INSTALLATION.

IV. 1. Détermination du point de fonctionnement:

Le point de fonctionnement de l'installation est donné par l'intersection de la caractéristique de l'installation et de la courbe résultante des caractéristiques de deux pompes en parallèle.

D'après la figure de la page 59, le point de fonctionnement a pour coordonnées:

- le débit: $Q = 1641,6 \frac{m^3}{h}$.

- la hauteur: $H = 132 \text{ m}$.

Comme on le constate ces valeurs sont supérieures demandées ($Q = 1476 \frac{m^3}{h}$, $H = 123 \text{ m}$).

Pour avoir exactement le point de fonctionnement exigé, on doit porter des modifications aux roues. Cette opération s'appelle le rognage.

IV.2. Rognage des roues

IV.2.1. Principe du rognage:

Le rognage d'une roue consiste en la réduction de son diamètre extérieur. La roue rognée est semblable à la roue initiale c'est à dire que la vitesse spécifique de rotation reste inchangée.

IV.2.2. Caractéristique de la pompe avec des roues rognées:

- Coefficient de rognage:

D'après les lois de similitude on a:

$$\frac{H}{h} = \left(\frac{D_1}{d_2}\right)^2 \left(\frac{N}{n}\right)^2 \left(\frac{U_1}{u_2}\right)^2 = \frac{Q}{q} \frac{N}{n}$$

Les lettres en miniscule désignent les valeurs rapportées à la roue rognée.

Comme on garde une vitesse de rotation constante, on a

$\frac{H}{h} = \frac{Q}{q} = \left(\frac{D_1}{d_1}\right)^2$. Le coefficient de rognage est par définition:

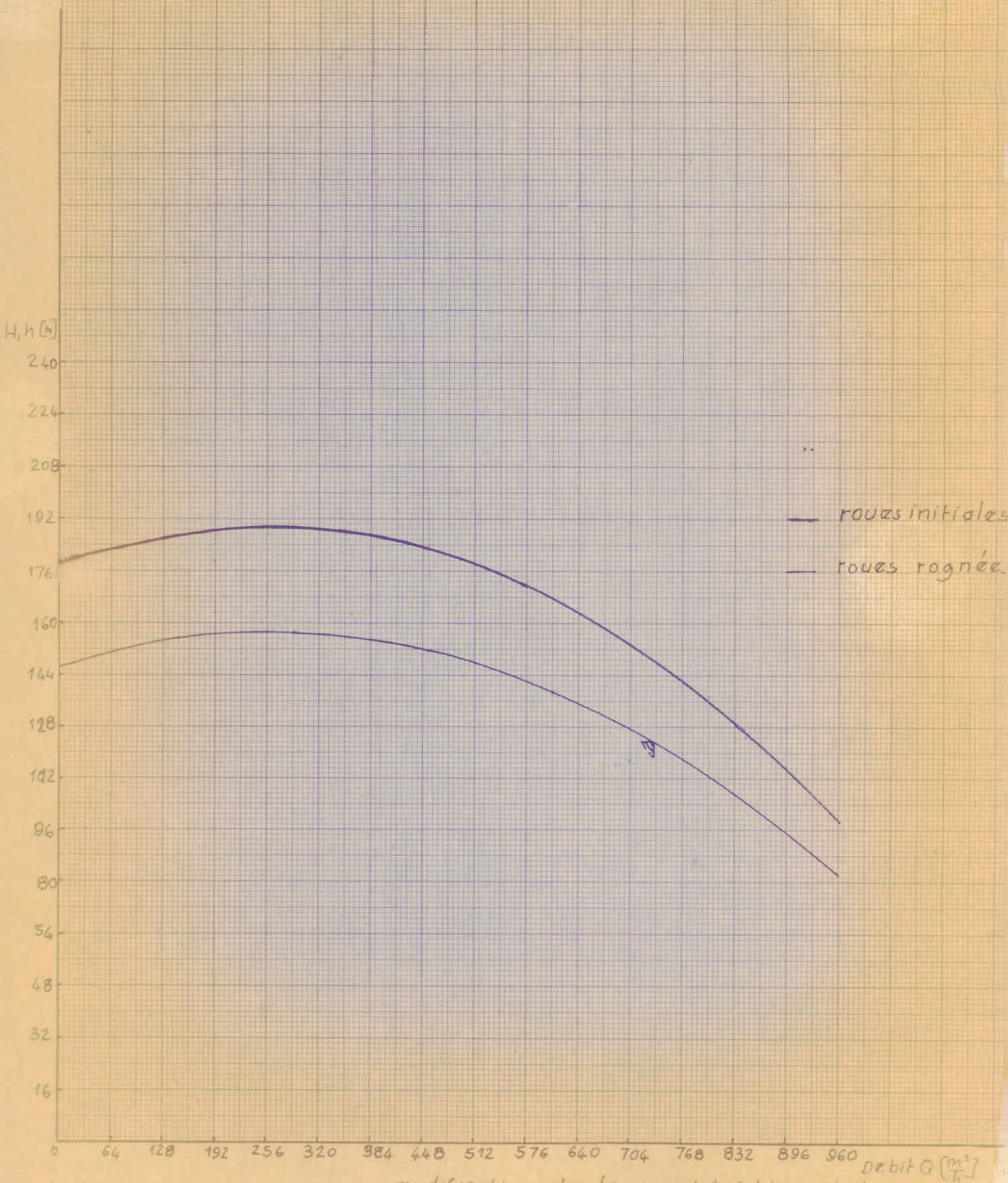
$$m = \frac{d_2}{D_2}$$

La nouvelle caractéristique est obtenue à l'aide de la formule suivante:

$$h = m^2 H.$$

| | | | | | | | | | |
|-------|--------|--------|--------|--------|--------|--------|--------|--------|--------|
| H [m] | 178,60 | 182,75 | 187,10 | 189,36 | 190,14 | 189,32 | 187,39 | 183,62 | 178,35 |
| h [m] | 148,00 | 151,44 | 155,04 | 156,91 | 157,56 | 156,88 | 155,29 | 152,14 | 147,80 |
| H | 172,11 | 163,67 | 154,74 | 148,43 | 143,10 | 130,50 | 115,09 | 109,82 | |
| h | 142,62 | 135,62 | 127,81 | 123 | 118,59 | 108,14 | 95,37 | 83,57 | |

N.B: $m = \sqrt{\frac{123}{148,43}} = 0,91 \Rightarrow d_2 = D_2 \cdot m = 324 \cdot 0,91 = 295,5 \text{ mm}$



modification de la caractéristique de la pompe après rognage.

- Rendement de la pompe modifiée:

Dans cette pompe il ya seulement les dimensions des roues qui changent, donc les rendements volumétrique et mécanique restent constants. Seul le rendement hydraulique sera affecté et devient plus faible:

$$\eta_h = \frac{1}{1 + \frac{h_p}{h}}$$

En réalité les pertes par frottement dans les canaux de la roue sont moins importantes mais pour compenser les pertes supplémentaires dues aux tourbillonnements à cause du grand jeu entre les roues et la volute, on les garde constantes.

$$\eta_h = \frac{1}{1 + \frac{h_p}{h}} = \frac{1}{1 + \frac{37,843}{123}} = 79,50\%$$

Le rendement global est:

$$\eta_g = \eta_h \cdot \eta_v \cdot \eta_m$$

$$\eta_h = 79,50\%$$

$$\eta_v = 97\%$$

$$\eta_m = 94,4\%$$

$$\eta_g = 79,5 \cdot 97 \cdot 94,4 \cdot 10^{-6}$$

$$\eta_g = 72,8\%$$

IV.3. Fonctionnement de l'installation avec les pompes modifiées.

Avec les pompes à roues rognées on obtient exactement le point de fonctionnement désiré c.a.d:

$$\left. \begin{array}{l} Q = 1476 \frac{\text{m}^3}{\text{h}} \\ H = 123 \text{ m.} \end{array} \right\} \text{ voir page 64.}$$

- Choix des moteurs:

- Puissance du moteur:

$$P_m = \left(\frac{1}{\eta_p} + 10\% \right) \frac{\rho \cdot Q \cdot H}{1000} \quad [\text{KW}].$$

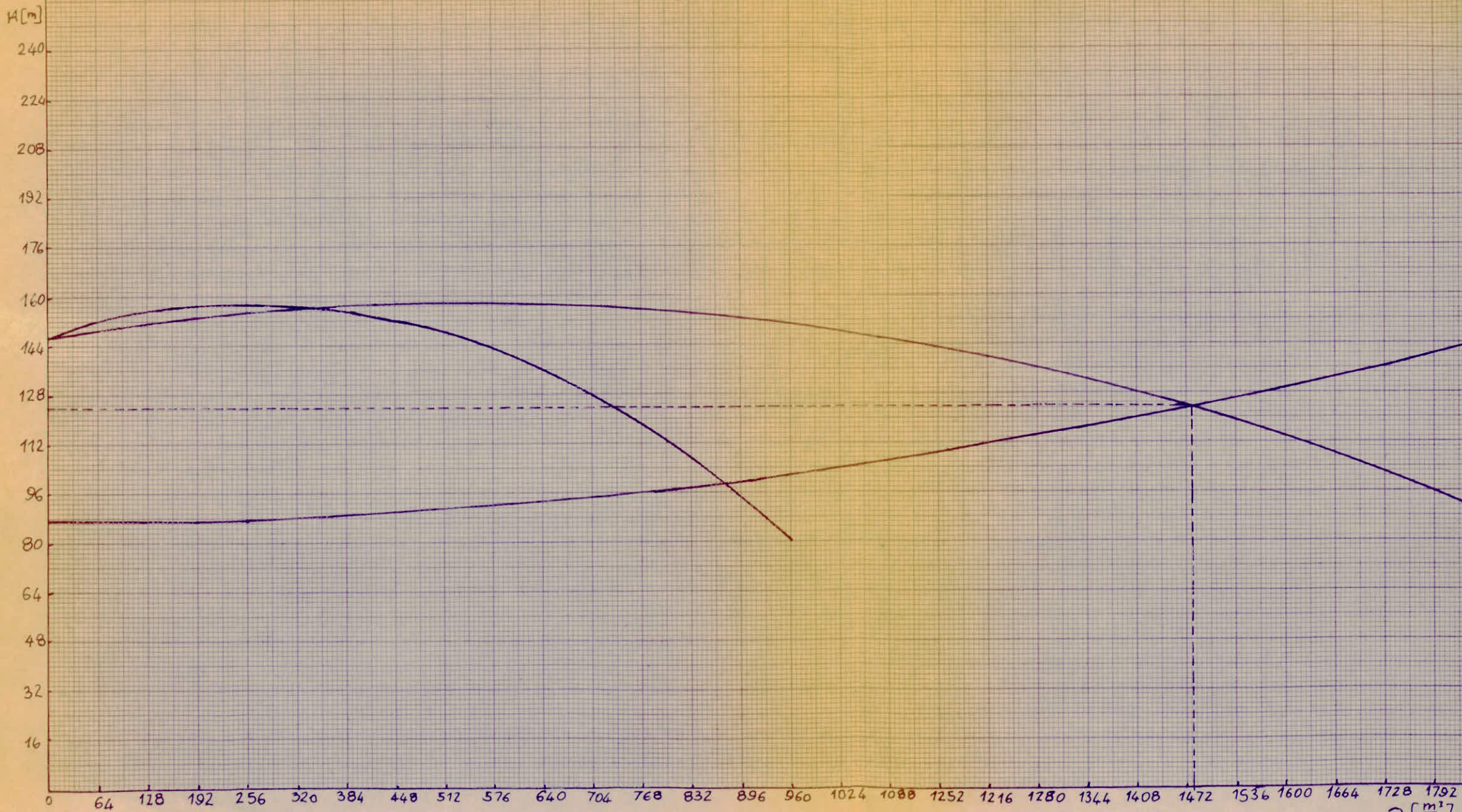
$$Q = 738 \frac{\text{m}^3}{\text{h}} = 0,205 \frac{\text{m}^3}{\text{s}}$$

$$H = 123 \text{ m.}$$

$$P_m = \left(\frac{1}{0,728} + 0,1 \right) \frac{9,81 \cdot 1000 \cdot 0,205 \cdot 123}{1000}$$

$$P_m = 364,52 \text{ KW.}$$

on choisit un moteur de 370 KW à 2900 trs/mn.



Fonctionnement de l'installation avec les pompes modifiées.

$\rightarrow Q$ [$\frac{\text{m}^3}{\text{h}}$]

CONCLUSION

Cette étude fait apparaître les problèmes les plus importants que rencontre la conception et la mise en marche d'une installation de pompage. Une analyse détaillée et rigoureuse nécessite un bureau d'études polyvalent doté d'outils de travail adéquats. Il serait utile de compléter ce travail par une étude technico-économique et une étude électrique.

De même il serait intéressant d'approfondir l'étude constructive de la pompe en vue d'une réalisation future.

BIBLIOGRAPHIE

- Pompes centrifuges et pompes hélices
A.J. STEPANOFF
Ed. DUNOD
Paris, 1961
- Pompes, ventilateurs, compresseurs
A. de KOVATS
G. DESMUR
Ed. DUNOD
Paris, 1962
- Calcul des tuyaux
T. ONIGA
Ed. DUNOD
Paris, 1960
- Hydraulique urbaine Tome II
A. DUPONT
Ed. EYROLLES
Paris, 1977
- Guide du dessinateur industriel
A. CHEVALIER
Ed. HACHETTE
Paris, 1975
- La résistance des matériaux
G. MAILLARD
Ed. A. CASTEILLA
Paris, 1974
- Centrifugal pump. Lexicon.
K. S. B.
2nd Edition
FRANKENTHAL, 1980
- Station de pompage
A. G. H. T. M.
- Instructions pour le montage, la conduite
et l'entretien des pompes centrifuges
E. N. S. I. V. A. L.
Bruxelles.
- Cours CM4
M^r. PIERROZAK
M^r. SPIRIDONOV
- Cours MTH3
M^r. DIMITROV.
- Catalogues de ALSTHOM ATLANTIQUE.
- Catalogues de K.S.B.

